### Comune di Fiorano Modenese Provincia di Modena

RELAZIONE GEOLOGICA inerente la caratterizzazione e modellazione geologica del sito (6.2.1. NTC 2018)

RELAZIONE GEOTECNICA relativa alle indagini, alla caratterizzazione e alla modellazione geotecnica a supporto della progettazione strutturale (6.2.2. NTC 2018) nonché relativa alla verifica delle opere di fondazione (6.4. NTC 2018)

ANALISI PERICOLOSITÀ SISMICA LOCALE relativa alla caratterizzazione geofisica del volume significativo di terreno (3.2.2 NTC 2018), valutazione dell'azione sismica di riferimento (3.2.3. NTC 2018), Risposta sismica locale e verifica della stabilità nei confronti della liquefazione (7.11.3. NTC 2018)



#### **OGGETTO:**

Studio del terreno di fondazione per la realizzazione di una nuova cabina e antenna per servizi di telecomunicazione, sita in Via del Ruvinello, nel Comune di Fiorano Modenese (MO)







#### GEO GROUP s.r.l.

Via C. Costa, 182 - 41123 MODENA Tel. 059/3967169 Fax. 059/5960176 E-mail: info@geogroupmodena.it P.IVA e C.F. 02981500362

www.geogroupmodena.it



AZIENDA CON SISTEMA
DI GESTIONE QUALITÀ
CERTIFICATO DA DNV
= ISO 9001=

#### Relazione Tecnica

comprendente:

#### **RELAZIONE GEOLOGICA**

inerente la caratterizzazione e modellazione geologica del sito (6.2.1. NTC 2018)

#### **RELAZIONE GEOTECNICA**

Relativa alle indagini, alla caratterizzazione e alla modellazione geotecnica a supporto della progettazione strutturale (6.2.2. NTC 2018) nonché relativa alla verifica delle opere di fondazione (6.4. NTC 2018)

#### ANALISI PERICOLOSITÀ SISMICA LOCALE

Relativa alla caratterizzazione geofisica del volume significativo di terreno (3.2.2 NTC 2018), valutazione dell'azione sismica di riferimento (3.2.3. NTC 2018), Risposta sismica locale e verifica della stabilità nei confronti della liquefazione (7.11.3. NTC 2018)

### Oggetto:

Studio del terreno di fondazione per la realizzazione di una nuova cabina e antenna per servizi di telecomunicazione, sita in Via del Ruvinello, nel Comune di Fiorano Modenese (MO).

**Proprietà:** Sig.re Bondi Antonella, Bondi Loretta, Bondi Luisa, Bondi Paola

#### Indice del contenuto

1.1INQUADRAMENTO GEOGRAFICO	6
2. RELAZIONE GEOLOGICA	7
2.1MODELLAZIONE GEOLOGICA DEL SITO - GEOLOGIA	7
2.2INDAGINI GEOGNOSTICHE	8
2.2.1 Prova penetrometrica statica con punta meccanica CPT	8
2.3CARATTERISTICHE LITOSTRATIGRAFICHE E GEOTECNICHE DEL TERRENO DI	
FONDAZIONE	11
2. RELAZIONE GEOTECNICA	12
3.1INDAGINI GEOTECNICHE	12
3.2MODELLO GEOTECNICO DEL SOTTOSUOLO	12
3.3TIPOLOGIA DI FONDAZIONI CONSIGLIATE E CALCOLO DELLA CAPACITÁ PORTANTE	14
3.4VERIFICA DEI CEDIMENTI	15
3.5MODULO DI SOTTOFONDO	16
4 CLASSIFICAZIONE e CARATTERIZZAZIONE SISMICA DEL SOTTOSUOLO –	
PROGETTAZIONE PER AZIONI SISMICHE (CALCOLO DEGLI SLU)	17
4.1SISMICITÀ DELL'AREA	17
4.2INDAGINI GEOFISICHE	20
4.2.1 Indagine sismica con metodo MASW	20
4.2.2 Indagini sismiche Horizontal to Vertical Spectral Ratio (HVSR) – Metodo di Nakamura	23
4.3PROGETTAZIONE PER AZIONI SISMICHE - VERIFICA DELLO STATO LIMITE ULTIMO	
(SLU) – PAR.6.4 N.N.T.C. 2018	25
4.4VERIFICA ALLA LIQUEFAZIONE	
4.5VERIFICA DI STABILITÀ DI VERSANTE	30
5 CONSIDERAZIONI CONCLUSIVE	33

### **Tavole**

Tav. n. 1: "Carta Corografica"	scala 1: 25.000
Tav. n. 2: "Carta Topografica"	scala 1: 10.000
Tav. n. 3: "Ripresa fotografica generale dell'area di interesse"	scala grafica;
Tav. n. 4: "Carta della litologia di superficie"	scala 1: 5.000;
Tav. n. 5: "Rischio da frana: carta del dissesto"	scala grafica;
Tav. n. 6: "Indagini geognostiche"	scala grafica.

### **Allegati**

- ALL. n. 1 Prova penetrometrica statica CPT corredata di interpretazione geotecnica;
- ALL. n. 2 Verifiche Geotecniche;
- ALL. n. 3 Indagine sismica tecnica MASW;
- ALL. n. 4 Indagine sismica tecnica HVSR;
- ALL. n. 5 Verifica alla liquefazione;
- ALL. n. 6 Verifica d stabilità.

#### **PREMESSE**

É stata eseguita la presente relazione geologica, geotecnica e sismica relativa allo studio del sottosuolo per la realizzazione di una nuova cabina e antenna per servizi di telecomunicazione, sita in Via del Ruvinello, nel Comune di Fiorano Modenese (MO).







Fig. 1.1: Inquadramento geografico dell'area oggetto di indagine; immagini tratte da Bing Maps.

Si riportano di seguito alcuni disegni progettuali inerenti gli interventi in progetto di cui si tratta nella presente relazione geologico-geotecnica.



Fig. 1.2: Sovrapposizione del disegno di progetto sulla foto aerea.

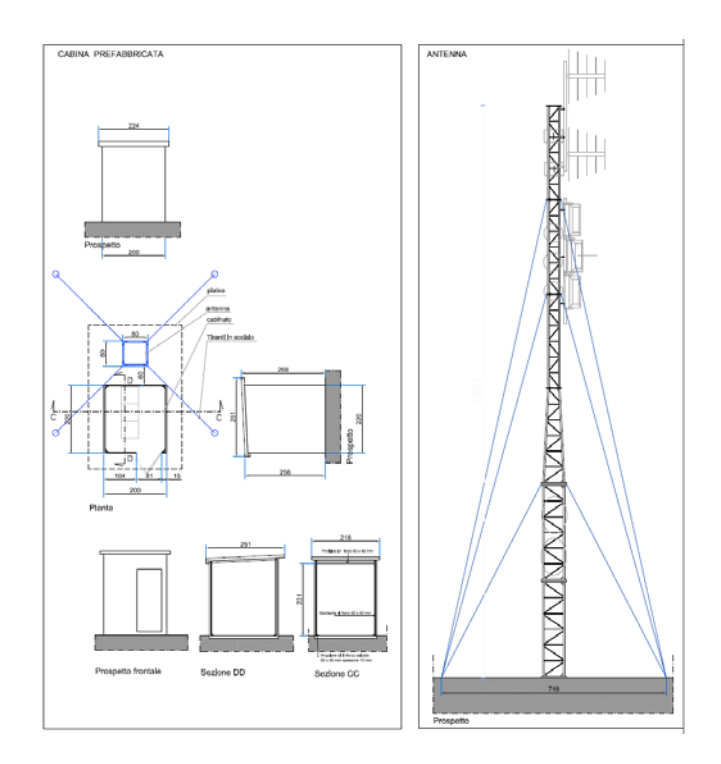


Fig. 1.3: Sezioni e prospetti della cabina e antenna in progetto.

#### 1.1 INQUADRAMENTO GEOGRAFICO

L'area in esame è sita a sud del centro dei Comuni di Sassuolo e Fiorano Modenese (MO), in Via del Ruvinello, come illustrato nella "Carta corografica", tavola CTR n. 219\_NO "Fiorano Modenese" alla scala 1: 25.000 (tav. n. 1); nella "Carta topografica" sezione n. 219060 "Sassuolo", alla scala 1: 10.000, (tav. n. 2) e nella "Ripresa fotografica generale dell'area di interesse" (tav. n. 3), riportate in allegato.

Le coordinate geografiche relative al sito in oggetto, calcolate mediante apposito software ed utilizzando la maglia di punti riportata in figura 1.2 sono le seguenti:





Fig. 1.2: Maglia di punti che identificano l'area di interesse.

#### 2. RELAZIONE GEOLOGICA

#### 2.1 MODELLAZIONE GEOLOGICA DEL SITO - GEOLOGIA

L'area oggetto di studio è posta a sud dei centri dei Comuni di Sassuolo e Fiorano Modenese (MO). Da quanto si evince dalla "Carta della litologia di superficie" allegata (tav. n. 4), tratta dal "Progetto CARG" della Regione Emilia-Romagna, Servizio Geologico Sismico e del Suolo, nell'area oggetto di studio affiora la seguente litologia:

# SUCCESSIONE NEOGENICO-QUATERNARIA DEL MARGINE APPENNINICO PADANO

#### AES8 - Subsintema di Ravenna

Ghiaie e ghiaie sabbiose, passanti a sabbie e limi organizzate in numerosi ordini di terrazzi alluvionali. Limi prevalenti nelle fasce pedecollinari di interconoide. A tetto suoli a basso grado di alterazione con fronte di alterazione potente fino a 150 cm e parziale decarbonatazione; orizzonti superficiali di colore giallo-bruno. Contengono frequenti reperti archeologici di età del Bronzo, del Ferro e Romana. Potenza fino a oltre 25 m. *Olocene (età radiometrica della base: 11.000 - 8.000 anni)*.

#### FAA - Argille Azzurre

Argille, argille marnose, marne argillose e siltose grigie e grigio-azzurre, talora grigio plumbeo, in strati medi e subordinatamente sottili, a giunti poco o non visibili per bioturbazione, con subordinati strati arenacei sottili risedimentati. Localmente sono presenti sottili livelli discontinui di biocalcareniti fini e siltiti giallo, o ocra se alterate, sottilmente laminate. Nella parte alta possono essere presenti slumps.

Limite inferiore paraconcordante o marcato da una lieve discordanza angolare su FCO, discordante su unità più antiche. Potenza di alcune centinaia di metri.

Pliocene inferiore - Pleistocene superiore

L'area oggetto di studio è posta nella collina modenese, in una zona pianeggiante alla quota topografica media di circa 243.00 m s.l.m..

#### 2.2 INDAGINI GEOGNOSTICHE

In relazione alla litologia presente nell'area e in base alla tipologia di intervento in progetto, la campagna geognostica è stata espletata mediante le seguenti indagini geognostiche:

- n. 1 prova penetrometrica statica CPT, eseguita in data 11/10/2017;
- n. 1 indagine sismica con metodologia MASW, eseguita in data 11/10/2017;
- n. 1 indagine sismica passiva HVSR, eseguita in data 11/10/2017.

L'ubicazione delle indagini geognostiche è illustrata nella **tav. n. 5**, riportata in allegato, mentre i diagrammi relativi alla prova penetrometrica CPT eseguita, dotati d'interpretazione geotecnica, sono presenti nell'**allegato n. 1**. Negli **allegati n. 3** e **n. 4** sono, invece, visibili i grafici e i risultati delle indagini sismiche *MASW* e *HVSR* rispettivamente.

#### 2.2.1 Prova penetrometrica statica con punta meccanica CPT

Nell'area di interesse è stata eseguita, in data **11/10/2017**, **n. 1 prova penetrometrica statica CPT**, spinta fino alla profondità di D = -10.00 m da p.c..

Nell'**Allegato n. 1** sono riportati i grafici e le tabelle riguardanti la prova eseguita, corredate dell'elaborazione geotecnica e litostratigrafica.

Le caratteristiche tecniche dello strumento impiegato sono le seguenti:

Punta meccanica	Begemann
Spinta	100 kN
Intervalli di misura	20 cm
Parametri registrati	Rp (resistenza alla punta)
	RI (resistenza attrito laterale)
Area punta	10 cm <sup>2</sup>
Angolo alla punta	60°

Fig. 2.1: Punta Begemann (a) e schema di avanzamento (b).

Asta interna
Asta esterna

Manicotto di attrito laterale
Begemann
Cono

12 cm

La prova penetrometrica statica CPT (*Cone Penetration Test*) viene realizzata infiggendo nel terreno, alla velocità di 2 cm/sec, la punta meccanica Begemann (**fig. 2.1**). La punta presenta alla sua estremità inferiore un cono avente un angolo al vertice di 60°, un diametro alla base di 36 mm e quindi un area di base di 10 cm². Esso supporta lungo il suo stelo un manicotto d'attrito, la cui superficie laterale è di 150 cm². I valori degli sforzi di reazione che il suolo oppone alla penetrazione della punta, allo scorrimento del manicotto laterale e l'avanzamento dell'insieme punta più aste, verranno registrati ogni 20 cm di avanzamento in profondità.

L'esecuzione della prova avviene tramite il seguente schema di avanzamento (fig. 2.1):

- 1) posizione di riposo con punta completamente chiusa;
- 2) spinta esercitata sulle aste interne con avanzamento di 4 cm del solo cono; visualizzazione dello sforzo di punta (Rp);
- 3) spinta esercitata sulle aste interne con avanzamento di 4 cm di cono + manicotto; visualizzazione dello sforzo di punta + attrito laterale (RI);
- 4) spinta esercitata sulle aste esterne con avanzamento di 12 cm e ritorno alla posizione di riposo con punta completamente chiusa; visualizzazione dello sforzo di punta + attrito + attrito della batteria di aste (Rt).

Nella fase d'avanzamento in cui viene letta la resistenza alla punta, il display restituisce automaticamente il carico unitario di resistenza (Rp) tenuto conto della superficie di infissione di circa 10 cm<sup>2</sup>. Nella fase di avanzamento in cui viene letta la somma delle resistenze alla punta ed al manicotto di frizione il display visualizza il carico assoluto espresso in kg diviso per 10 (RI).

Ad ogni profondità di misura  $(\mathbf{x})$ , i valori reali della resistenza alla penetrazione della punta " $\mathbf{q}_c$ " e dell'attrito laterale locale " $\mathbf{f}_s$ " possono essere calcolati tramite le seguenti formule:

$$q_c(x) = Rp(x) [kg/cm^2]$$

dove:

AP (Area Punta) = 10 cm<sup>2</sup>

AM (Area Manicotto Laterale) = 150 cm<sup>2</sup>

$$f_S(X) = (RI(x+1) - Rp(x+1)) \cdot (AP/AM) = (RI(x+1) - Rp(x+1)) / 15$$

La particolare punta utilizzata per la perforazione *Friction Jacket Cone* è servita a determinare, oltre al carico di rottura, anche la litologia dei terreni investigati: dal rapporto tra la resistenza penetrometrica alla punta e la resistenza laterale locale è infatti possibile risalire, attraverso l'esperienza di *Begemann*, modificata da *Schmertmann* (di seguito descritti), alla granulometria, e di conseguenza alla litologia, dei terreni attraversati dall'indagine.

#### Metodo di Begemann:

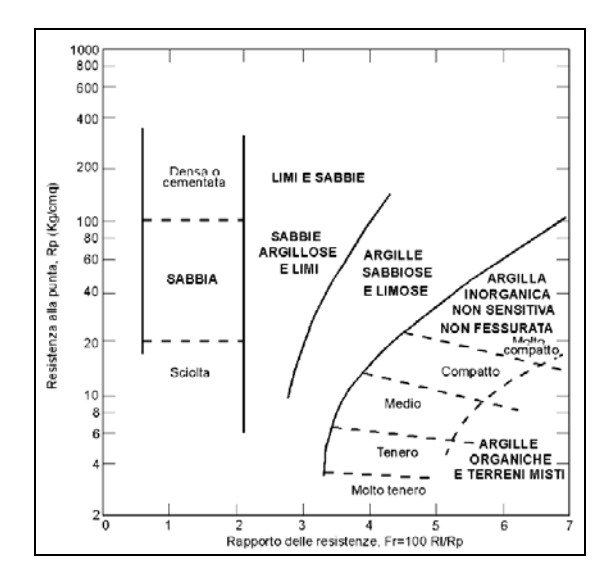
Il metodo di BEGEMANN considera il **rapporto tra Rp e RI** come parametro indicativo delle variazioni litologiche. In particolare l'Autore suggerisce le seguenti correlazioni:

Rapporto Rp/RI	Litologia
Rp/RI < 15	Argilla organica e torba
15 < Rp/RI < 20	Limo e/o argilla inorganica
30 < Rp/RI < 60	Limo sabbioso e sabbia limosa
Rp/RI > 60	Sabbie o sabbia più ghiaia

Va ricordato che tali correlazioni sono valide solo per terreni immersi in falda.

#### Metodo di Schmertmann:

Il metodo di SCHMERTMANN considera come indicativo della litologia della verticale indagata il rapporto delle resistenze **Fr** (con **Fr%=100 RI/Rp**), secondo il grafico sequente:



## 2.3 CARATTERISTICHE LITOSTRATIGRAFICHE E GEOTECNICHE DEL TERRENO DI FONDAZIONE

Sulla base dei dati emersi dall'elaborazione geotecnica e litostratigrafica della prova penetrometrica eseguita, illustrati nell'allegato n. 1, si può riassumere quanto seque:

- la prova penetrometrica CPT ha rilevato la presenza di un primo strato di argilla limosa a consistenza molto elevata (4.90 MPa < Rp < 7.84 MPa) fino alla profondità di -3.80 m da p.c., seguito da un livello di argilla limosa ad elevata consistenza (3.92 MPa < Rp < 5.88 MPa) fino alla quota di -5.80 m da p.c.. Segue nella prova CPT la presenza di un livello di argilla limosa a consistenza molto elevata (6.86 MPa < Rp < 8.82 MPa) fino alla massima quota raggiunta nella CPT, pari a -10.00 m da p.c..</p>
- Per quanto riguarda il grado di consolidazione dei materiali coesivi nella prova penetrometrica CPT è stata rinvenuta la presenza di terreni sovraconsolidati SC (con OCR > 4) lungo tutta la verticale di prova.
- Al termine della prova penetrometrica statica CPT non è stata rilevata la soggiacenza della falda freatica.

#### 2. RELAZIONE GEOTECNICA

#### 3.1 INDAGINI GEOTECNICHE

In relazione alla litologia presente nell'area e in base alla tipologia di intervento in progetto, sono state eseguite le seguenti indagini geotecniche:

### n. 1 prova penetrometrica statica CPT, eseguita in data 11/10/2017.

L'ubicazione delle indagini geotecniche è illustrata nella **tav. n. 5**, riportate in allegato, mentre i diagrammi della prova penetrometrica statica CPT, dotati d'interpretazione geotecnica, sono presenti nell'**allegato n. 1**.

#### 3.2 MODELLO GEOTECNICO DEL SOTTOSUOLO

Il modello geotecnico è finalizzato a fornire tutti i dati geotecnici necessari per il futuro progetto. Sulla base dei dati emersi dall'elaborazione geotecnica e litostratigrafica delle indagini geotecniche eseguite, illustrate nell'allegato n. 1 e precedentemente descritte, si può riassumere il seguente modello geotecnico schematico del terreno investigato:

#### **MODELLO GEOTECNICO MEDIO**

Strato	Profondità	Falda	Litotipo	Parametri geotecnici	
				γ	1900 kg/m³ ≈ 19.00 kN/m³
				γ'	2200 kg/m³ ≈ 22.00 kN/m³
				Cuk	2.00 kg/cm² ≈ 200.0 kN/m²
4	0.0 - 3.80		Argilla o argilla limosa molto	C' <sub>k</sub>	0.20 kg/cm² ≈ 20.0 kN/m²
	m da p.c.	Non	consistente	M <sub>0</sub>	200.0 kg/cm² ≈ 20000 kN/m²
		rilevata		Es	280.0 kg/cm² ≈ 28000 kN/m²
				фк	25°
				v	0.30
				γ	1850 kg/m³ ≈ 18.50 kN/m³
				γ'	2150 kg/m³ ≈ 21.50 kN/m³
				Cuk	1.70 kg/cm <sup>2</sup> ≈ 170.0 kN/m <sup>2</sup>
2	3.80 -5.80		Argilla o argilla	C' <sub>k</sub>	0.17 kg/cm <sup>2</sup> ≈ 17.0 kN/m <sup>2</sup>
_	m da p.c.	n da p.c. limos	limosa consistente	M <sub>0</sub>	150.0 kg/cm <sup>2</sup> ≈ 15000 kN/m <sup>2</sup>
				Es	238.0 kg/cm <sup>2</sup> ≈ 23800 kN/m <sup>2</sup>
				фk	24°
				V	0.35
			A '111 '111	γ	1900 kg/m $^3 \approx 19.00 \text{ kN/m}^3$
2	<b>Da 5.80</b> m da p.c.		Argilla o argilla limosa molto consistente	γ'	2200 kg/m³ ≈ 22.00 kN/m³
3				C <sub>uk</sub>	2.70 kg/cm <sup>2</sup> ≈ 270.0 kN/m <sup>2</sup>
				C' <sub>k</sub>	$0.27 \text{ kg/cm}^2 \approx 27.0 \text{ kN/m}^2$

						M <sub>0</sub> E <sub>s</sub>	240.0 kg/cm <sup>2</sup> $\approx$ 24000 kN/m <sup>2</sup> 378.0 kg/cm <sup>2</sup> $\approx$ 37800 kN/m <sup>2</sup>
						φk	25°
						V	0.30
			γ	=	peso spe	cifico terrend	o naturale
			γ'	=	peso spe	peso specifico terreno saturo	
C <sub>uk</sub> = C' <sub>k</sub> =		Cuk	=	coesione non drenata caratteristica			
		=	coesione	efficace car	atteristica		
<u>Legenda</u> Dr = densità		densità re	elativa				
M₀ = modulo di deformazione		ne edometrico					
		Es	=	modulo elastico			
$\phi_k = a$		angolo d'attrito caratteristico		eristico			
			v = modulo di l		li Poisson		

Si riportano di seguito le referenze bibliografiche e le correlazioni utilizzate per la determinazione dei parametri geotecnici sopra riportati:

 $\gamma'$  = peso dell'unità di volume (efficace) del terreno [Terzaghi & Peck 1967 - Bowles 1982]

C<sub>uk</sub> = coesione non drenata (terreni coesivi) [Formula di Lunne & Eide]

**Dr** = densità relativa (terreni granulari) [Schmertmann 1976]

 $\mathbf{M}_0$  = modulo di deformazione edometrico (terreni coesivi e granulari) [Sanglerat 1972 - Mitchell & Gardner 1975 - Ricceri et al. 1974 - Holden 1973]

**Es** = modulo elastico (terreni coesivi) [Trofimemkov 1974]

 $\phi_k$  = angolo di attrito interno efficace (terreni granulari) [Meyerhof 1956/1976, sabbie limose]

 $\phi_k$  = angolo di attrito interno efficace (terreni coesivi) [prove di laboratorio CID da Noi eseguite su analoghi litotipi presso Nostro laboratorio certificato dal "Ministero delle infrastrutture e dei trasporti n.1845"per l'esecuzione e certificazione di prove su terre e rocce, categoria A]

## 3.3 TIPOLOGIA DI FONDAZIONI CONSIGLIATE E CALCOLO DELLA CAPACITÁ PORTANTE

Sulla base dei dati emersi dall'elaborazione delle indagini geognostiche eseguite in sito, dei dati progettuali a Noi forniti dallo strutturista e in relazione alla tipologia di intervento in progetto, al fine di verificare la capacità portante del terreno <u>si sono ipotizzate</u>, al solo fine di effettuare il calcolo della capacità portante, le seguenti fondazioni:

- fondazioni superficiali dirette di tipo PLATEA IN C.A..

Per il calcolo della capacità portante del terreno si sono utilizzati i parametri geotecnici emersi dall'elaborazione della prova penetrometrica statica CPT eseguita in sito. I parametri geotecnici del terreno e le dimensioni delle fondazioni ipotizzate sono riassunti nella tabella sotto riportata e presenti in **Allegato n. 2**.

#### FONDAZIONE SUPERFICIALI DIRETTE DI TIPO PLATEA IN C.A.

B = 3.00  m
$B^{I} = 4.60 \text{ m}$
D = 0.80  m da p.c.
$\gamma$ = 1900 kg/m <sup>3</sup> $\approx$ 19.00 kN/m <sup>3</sup>
$\gamma'$ = 2200 kg/m <sup>3</sup> $\approx$ 22.00 kN/m <sup>3</sup>
$C_{uk} = 2.00 \text{ kg/cm}^2 \approx 200.0 \text{ kN/m}^2$
$C'_{k} = 0.20 \text{ kg/cm}^2 \approx 20.0 \text{ kN/m}^2$
φ <sub>K</sub> = 25°
Mo = $200 \text{ kg/cm}^2 \approx 20000 \text{ kN/m}^2$
Es = $280 \text{ kg/cm}^2 \approx 28000 \text{ kN/m}^2$
Non rilevata
β = ~0°
Cs = 2

#### 3.4 VERIFICA DEI CEDIMENTI

È stato eseguito il calcolo della distribuzione delle tensioni indotte al terreno di fondazione dagli interventi in progetto secondo il metodo di Newmark (Allegato n. 2).

Il metodo di Newmark si basa sul presupposto che il terreno di fondazione possa essere assimilato ad uno spazio semi-infinito a comportamento perfettamente elastico, omogeneo e isotropo.

Per la verifica dei cedimenti sono stati considerati i parametri geotecnici emersi dall'elaborazione della prova penetrometrica statica CPT eseguita ed i carichi applicati sul terreno da noi ipotizzati sono illustrati nella tabella che segue. Tutto ciò premesso, utilizzando il metodo di calcolo di Steinbrenner per gli strati coesivi, sono stati ottenuti i seguenti risultati:

Calcolo dei cedimenti immediati secondari e di consolidazione		
Quota di imposta D = - 0.80 m da p.c. Carico applicato sul terreno Q = 0.40 kg/cm² ≈ 40 kN/m²		
Metodo di calcolo dei cedimenti degli strati coesivi: Steinbrenner		
Cedimento della fondazione	S = 0.26 cm	
Cedimento totale degli strati coesivi S = 0.26 cm		
Cedimento totale del terreno di fondazione S = 0.26 cm		

#### 3.5 MODULO DI SOTTOFONDO

Il modello di Winkler considera il terreno come formato da una distribuzione di vincoli semplici bilaterali elastici. La relazione che ne regola il comportamento è di tipo lineare tra il cedimento (w) e la pressione di contatto (p): p = kw.

Il parametro k è detto costante di sottofondo. Come è noto, k non dipende solo dal terreno, ma anche dai carichi applicati, dalle proprietà del terreno, dalla forma e dimensioni della fondazione. Utilizzando la Formula di Bowles (1982):

#### k (kN/mc) = 40 \*Qlim effettivo applicato \*Fc

dove Fc = 2.54 cm / cedimento della fondazione (in cm) e dove Qlim effettivo applicato =  $3 * \Delta P$  (incremento di carico sul terreno cautelativo); quindi, nel nostro caso, 3 \* 0.40 kg/cm<sup>2</sup> = 3 \* 40 kN/m<sup>2</sup> = 1.20 kg/cm<sup>2</sup> = 120 kN/m<sup>2</sup>, e considerando un cedimento di riferimento pari a S = 0.26 cm, si ottiene il valore di costante di Winkler riassunto nella tabella seguente:

	Modulo di sottofondo	
Cedimento di riferimento	Carico applicato sul terreno	Costante di Winkler
S = 0.26 cm	$\Delta P = 0.40 \text{ kg/cm}^2 \approx 40 \text{ kN/m}^2$	4.69 kg/cm³ ≈ 46900 kN/m³

## 4 CLASSIFICAZIONE e CARATTERIZZAZIONE SISMICA DEL SOTTOSUOLO – PROGETTAZIONE PER AZIONI SISMICHE (CALCOLO DEGLI SLU)

#### 4.1 SISMICITÀ DELL'AREA

Secondo la classificazione sismica del territorio nazionale proposta a partire dall'O.P.C.M. n. 3274/2003 e successive modifiche, il **Comune di Fiorano Modenese** (MO) risulta appartenente alla **classe di sismicità 2** (Fig. 3.1).

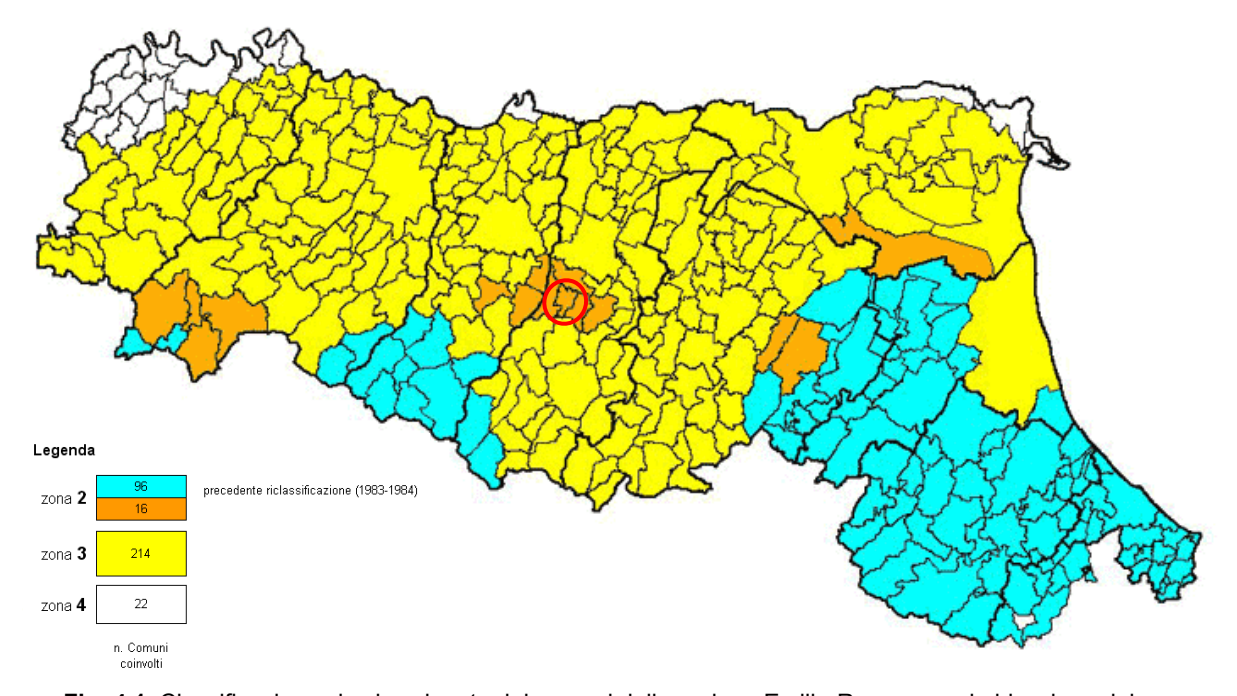
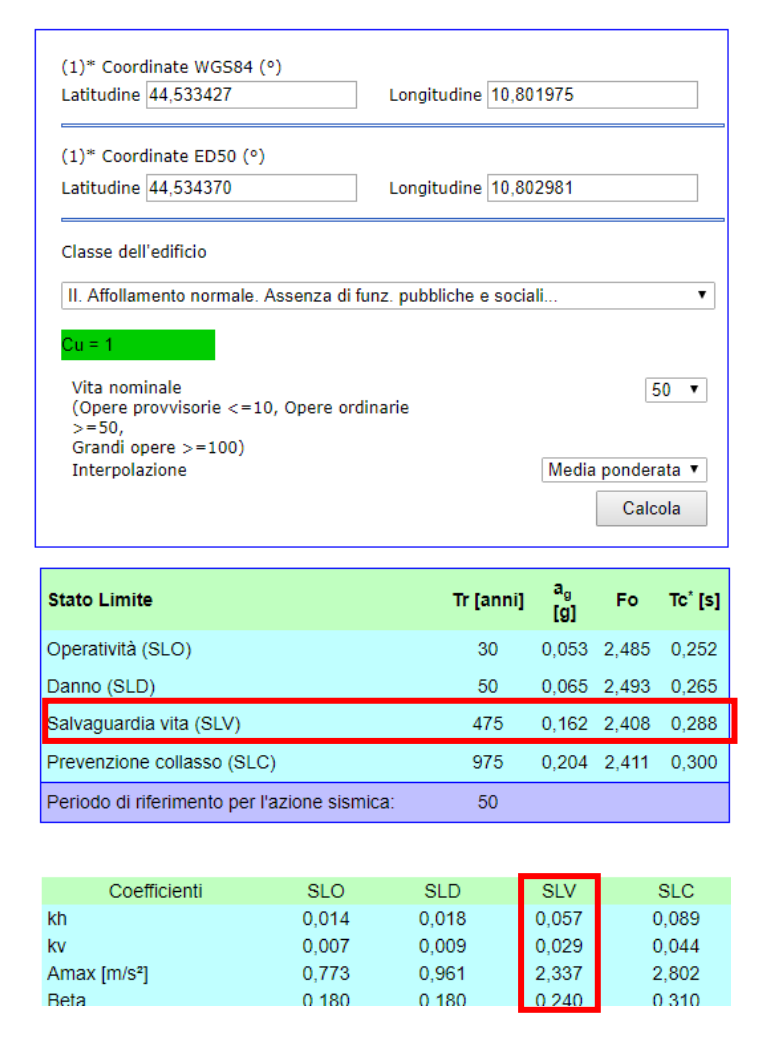


Fig. 4.1: Classificazione sismica vigente dei comuni della regione Emilia-Romagna ed ubicazione del territorio comunale di Fiorano Modenese (MO).

La suddivisione del territorio nazionale in zone a diversa classe di sismicità, caratterizzate da un valore di accelerazione di picco ed un corrispondente spettro di risposta elastico da utilizzare nella progettazione, risulta in realtà superata dall'entrata in vigore del D.M. 14/01/2008. Sulla base dei contenuti delle NNTC 2008 e delle successive NTC 2018, per ogni costruzione deve essere definita un'accelerazione di riferimento propria, in funzione delle coordinate geografiche dell'area e della vita nominale dell'opera.

Per l'area in oggetto, identificata dalle seguenti coordinate geografiche (**Sistema di riferimento ED50**): Latitudine:  $44.534370^{\circ}$ , Longitudine  $10.802981^{\circ}$ , in relazione ad un periodo di riferimento  $T_R$  stimato di 475 anni, è stato definito un parametro di accelerazione massima attesa  $a_g$  pari a  $a_{g \text{ attesa}} = 0.162_g$ .



L'accelerazione orizzontale di picco attesa  $\mathbf{a_g}$  è definita in condizioni di campo libero su sito di riferimento rigido e con superficie topografica orizzontale. L'accelerazione  $\mathbf{a_g}$  rappresenta uno dei parametri principali che definisce la **pericolosità sismica di base**, insieme ai parametri  $\mathbf{F_0}$  e  $\mathbf{Tc^*}$  dello spettro di risposta elastico, desumibili nelle tabelle riportate sopra.

Ai fini della definizione dell'azione sismica, determinata la pericolosità sismica di base, occorre valutare gli **effetti di sito** mediante specifiche analisi di risposta sismica locale.

Per la definizione dell'azione sismica, sulla base di quanto previsto dalle N.N.T.C., si può fare riferimento ad un approccio semplificato che si basa sull'individuazione della categoria di sottosuolo e le condizioni topografiche del sito, in funzione delle quali si definiscono l'entità dell'amplificazione stratigrafica e topografica.

Sulla base delle NTC 2018, e tenendo conto dei dati ottenuti dall'indagine geofisica eseguita in sito, si classifica il terreno di fondazione in oggetto, come appartenente alla categoria C, corrispondente a depositi di terreni a grana grossa mediamente addensati o terreni a grana fina mediamente consistenti con spessori superiori a 30 m, caratterizzati da un graduale miglioramento delle proprietà meccaniche con la profondità

e da valori di  $V_{S30}$  compresi tra 180 e 360 m/s (ovvero 15 <  $N_{SPT,30}$  < 50 nei terreni a grana grossa e 70 <  $c_{u,30}$  < 250 kPa nei terreni a grana fina).

Si ricava quindi il **fattore stratigrafico S**<sub>s</sub>, caratteristico del sito secondo le N.N.T.C. - 2018, mediante la seguente relazione, valida suoli in classe **C**:

$$1.00 \le S_s = 1.70 - (0.60 \cdot F_o \cdot a_q/g) \le 1.50$$
 (4.1.1)

dove:

- F<sub>o</sub> = fattore che quantifica l'amplificazione spettrale massima, su sito di riferimento rigido orizzontale, ed ha valore minimo pari a 2.2; per il sito oggetto di studio tale valore, calcolato mediante l'utilizzo di apposito software, risulta pari a 2.408;
- a<sub>g</sub>/g = accelerazione orizzontale del sito, con tempo di ritorno pari a 475
   anni/accelerazione di gravità;
- $S_s$  = coefficiente di amplificazione stratigrafica o fattore stratigrafico, calcolato tramite la relazione 4.1.1; per il sito oggetto di studio risulta pari a  $\frac{1.47}{1.47}$ .

Successivamente, sulla base delle condizioni topografiche del sito studiato, si calcola il fattore topografico  $S_T$  dalla seguente tabella:

Categoria topografica	Ubicazione opera/intervento	ST
T1	Superficie pianeggiante, pendii e rilievi isolati con inclinazione media ≤ 15°	1.0
T2	Pendii con inclinazione media > 15°	1.2
Т3	Rilievi con larghezza in cresta molto minore che alla base e inclinazione media 15°≤ i ≤ 30°	
T4	Rilievi con larghezza in cresta molto minore che alla base e inclinazione madia > 30°	1.4

Per l'area studiata, sita, come suddetto in una zona di pianura e appartenente, quindi alla categoria topografica **T1**, si ottiene un fattore topografico  $S_T$  pari a **1.0**.

In base a tali valori del fattore stratigrafico  $S_s$  e del fattore topografico  $S_T$  si procede al calcolo dell' accelerazione massima orizzontale  $A_{max}$ :

$$A_{\text{max}} = S_S \cdot S_T \cdot a_q = 1.47 \cdot 1.0 \cdot 0.162 \text{ g} = 0.238_q$$

#### 4.2 INDAGINI GEOFISICHE

Per la classificazione sismica dell'area di studio, in data **11/10/2017** sono state eseguite in sito le seguenti indagini geofisiche:

- n. 1 indagine sismica con metodo MASW;
- n. 1 indagine sismica passiva Horizontal to Vertical Spectral Ratio (HVSR) – Metodo di Nakamura.

L'ubicazione delle indagini eseguite è riportata nella **Tav. n. 5**, mentre in **Allegato n. 3** e **n. 4** sono presenti i grafici relativi ai risultati ottenuti dall'elaborazione delle indagini sismiche *MASW* e *HVSR* rispettivamente.

#### 4.2.1 Indagine sismica con metodo MASW

Per potere classificare con precisione l'area da un punto di vista sismico, è stata eseguita, nell'area in oggetto, n. 1 indagine sismica con metodo MASW, ubicata come riportato nella **Tavola n. 5** e i cui risultati sono riportati in **Allegato n. 3**.

Per misurare le velocità delle onde di taglio si possono eseguire prospezioni sismiche mediante stendimenti superficiali, utilizzando geofoni verticali da 4,5 Hz ed acquisendo attivamente i segnali delle onde rifratte alla superficie mediante una sorgente artificialmetne provocata. Questa tecnica, nota con la sigla MASW (Multichannel Analysis of Surface Waves), permette di ricostruire il profilo verticale delle Vs con procedimenti di modellazione diretta delle velocità di fase delle onde, rifratte alla superficie. Partendo dal sismogramma registrato mediante sorgente energizzante in asse con lo stendimento, viene eseguita un'analisi spettrale che ha consentito di elaborare un'immagine della distribuzione del segnale di velocità sismica in funzione delle diverse frequenze che lo compongono. Da tale elaborazione, tramite una fase di "picking" del segnale ad elevata intensità è stata ottenuta la "curva di dispersione", dalla cui inversione è stato calcolato il modello sismo-stratigrafico espresso in termini di velocità delle onde di taglio (Vs). I dati sono stati registrati mediante un sismografo Geode Geometrics 24 bit con filtri disinseriti, velocità di campionamento (sample rate) di 0.2 millisecondi e lunghezza delle acquisizioni di 1 secondo. Si effettuano battute poste ad offset diversi (10 m e 15 m di distanza dal primo geofono) mediante grave da 8,0 kg di massa.

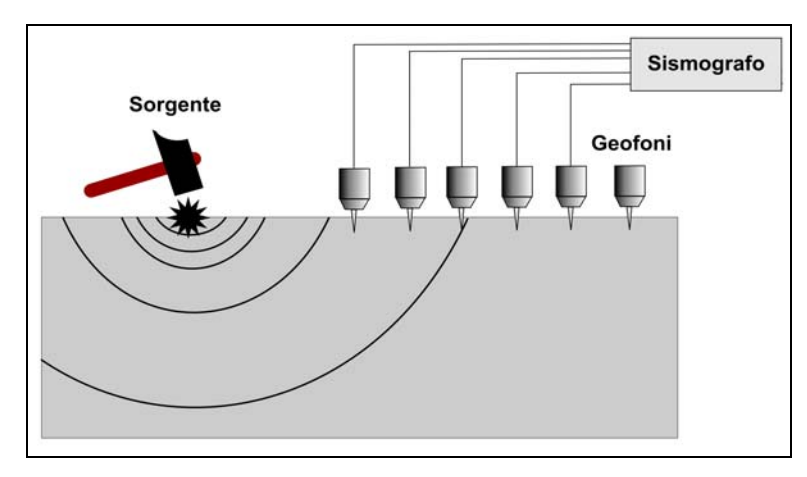


Fig. 4.2: Schema di Array lineare e punto energizzante.



Fig. 4.3: Strumentazione della Geode Geometrics utilizzata per l'esecuzione dell'indagine sismica MASW.



Fig. 4.4: Esecuzione dell'indagine sismica MASW preso l'area oggetto di iindagine.

Il calcolo del profilo delle velocità delle onde di Rayleigh, V(fase)/freq., può essere convertito nel profilo Vs/profondità. Tale metodo non è univoco e quindi il modello che ne scaturisce è un modello teorico; per questo motivo è preferibile operare in presenza di dati di taratura (come nel caso specifico) onde ricavare il modello reale.

L'indagine eseguita ha permesso la determinazione dell'andamento della velocità delle Vs fino a circa 35 m di profondità. Dall'indagine è stata ricavata la  $V_{s30}$  desunta dalla formula:

$$V_{s30} = \frac{30}{\sum \frac{hi}{v_i}}$$

Tale valore, nell'area indagata, per la classificazione sismica dei terreni di fondazione seguendo le indicazioni delle **N.T.C. 21018**, è risultata pari a **277 m/s**. Pertanto secondo la classificazione del suolo, si definisce il terreno di fondazione dell'area studiata come appartenente alla categoria **C**, corrispondente a depositi di terreni a grana grossa mediamente addensati o terreni a grana fina mediamente consistenti con spessori superiori a 30 m, caratterizzati da un graduale miglioramento delle proprietà meccaniche con la profondità e da valori di  $V_{S30}$  compresi tra 180 e 360 m/s (ovvero 15 <  $N_{SPT,30}$  < 50 nei terreni a grana grossa e 70 <  $c_{u,30}$  < 250 kPa nei terreni a grana fina).

### 4.2.2 Indagini sismiche Horizontal to Vertical Spectral Ratio (*HVSR*) – Metodo di Nakamura

La caratterizzazione sismica dei terreni tramite la tecnica di indagine sismica passiva HVSR (Horizontal to Vertical Spectral Ratio - Metodo di Nakamura) è finalizzata all'individuazione delle frequenze caratteristiche di risonanza di sito. Esse sono correlabili ai cambi litologici presenti sia all'interno della copertura che nell'ammasso roccioso. L'utilizzo di algoritmi di calcolo finalizzati ad una modellizzazione sintetica dello spettro H/V, permette di correlare ogni picco spettrale con le discontinuità presenti nel sottosuolo (per esempio i cambi litologici). I dati che si possono ricavare sono spessori, profondità e velocità di propagazione delle onde di taglio all'interno del sismo-strato individuato. Tramite l'elaborazione di moti superiori e l'analisi dell'andamento delle tre componenti del moto, è possibile distinguere i picchi di origine naturale da quelli generati dai moti superiori o da artefatti, al fine di garantire una corretta interpretazione dello spettro sismico registrato. La tecnica dei rapporti spettrali (HVSR) trova la sua massima applicazione negli studi di microzonazione sismica poiché fornisce un parametro fondamentale (frequenza propria di risonanza di sito) per una corretta progettazione di edifici antisismici. Negli ultimi anni si è affermata anche per la sua versatilità poiché si è dimostrato come lo spettro sismico può rappresentare un modello sismo - stratigrafico del sottosuolo.

La tecnica **HVSR** è totalmente **non invasiva, molto rapida**, si può applicare ovunque e non necessita di nessun tipo di perforazione, né di stendimenti di cavi, né di energizzazioni esterne diverse dal rumore ambientale che in natura esiste ovunque. Per l'acquisizione dei dati è stato utilizzato un "velocimetro triassiale" conforme alle norme SESAME.

I risultati che si possono ottenere da indagini sismiche HVSR sono:

- La frequenza caratteristica di risonanza del sito che rappresenta un parametro fondamentale per il corretto dimensionamento degli edifici antisismici. Si dovranno adottare adeguate precauzioni nell'edificare strutture aventi la stessa frequenza di vibrazione del terreno, per evitare l'effetto di "doppia risonanza", fenomeno estremamente pericoloso per la stabilità delle costruzioni.
- La frequenza fondamentale di risonanza di un edificio, qualora la misura venga effettuata all'interno dello stesso. In seguito sarà possibile confrontarla con quella caratteristica del sito e capire se, in caso di sisma, la costruzione potrà essere o meno a rischio.

- La velocità media delle onde di taglio Vs calcolata tramite un apposito codice di calcolo. È necessario, per l'affidabilità del risultato, conoscere la profondità di un riflettore noto dalla stratigrafia (prova penetrometrica, sondaggio, etc.) e riconoscibile nella curva H/V. E' possibile calcolare la Vs30 e la relativa categoria del suolo di fondazione come esplicitamente richiesto dalle nuove Norme Tecniche per le Costruzioni 2018.
- La stratigrafia del sottosuolo con un range di indagine compreso tra 0.5 e 700 m di profondità, anche se il dettaglio maggiore si ha nei primi 100 metri. Il principio su cui si basa la tecnica HVSR, in termini di stratigrafia del sottosuolo, è rappresentato dalla definizione di strato, inteso come unità distinta da quelle sopra e sottostanti per un contrasto d'impedenza, ossia per il rapporto tra i prodotti di velocità delle onde sismiche nel mezzo e densità del mezzo stesso.

Lo spettro H/V ottenuto dall'elaborazione dell'<u>indagine sismica passiva HVSR</u> non ha evidenziato un **picco di risonanza stratigrafico**.

## 4.3 PROGETTAZIONE PER AZIONI SISMICHE - VERIFICA DELLO STATO LIMITE ULTIMO (SLU) – PAR.6.4 N.N.T.C. 2018

In relazione a quanto esposto nella normativa tecnica nazionale NTC 2018, si procede alla verifica nei confronti degli stati limite ultimi (SLU) di resistenza del terreno (GEO) relativamente alle opere di fondazione in oggetto, di **tipo superficiale**, fornendo il valore di resistenza offerta dal sistema geotecnico ( $R_{d\ GEO}$ ). Il valore di progetto della resistenza Rd può essere determinato:

- a) in modo analitico, con riferimento al valore caratteristico dei parametri geotecnici del terreno, diviso per il valore del coefficiente parziale γM specificato nella Tab. 6.2.II (NNTC 2018) e tenendo conto, ove necessario, dei coefficienti parziali γR specificati nei paragrafi relativi a ciascun tipo di opera;
- b) in modo analitico, con riferimento a correlazioni con i risultati di prove in sito, tenendo conto dei coefficienti parziali γR riportati nelle tabelle contenute nei paragrafi relativi a ciascun tipo di opera;
- c) sulla base di misure dirette su prototipi, tenendo conto dei coefficienti parziali γR riportati nelle tabelle contenute nei paragrafi relativi a ciascun tipo di opera.

Le verifiche sono effettuate applicando la combinazione (A1+M1+R3) di coefficienti parziali prevista dall'approccio 2, tenendo conto dei valori dei coefficienti parziali riportati nelle tabelle 6.2.I, 6.2.II e 6.4.I.

#### Fattori correttivi sismici: Paolucci e Pecker (1997)

Per tener conto degli effetti inerziali indotti dal sisma nei riguardi della determinazione del q<sub>lim</sub> vengono introdotti, all'interno della formula di Terzaghi, i fattori correttivi z:

$$z_{\rm q} = \left(1 - \frac{k_{\rm h}}{\tan \varphi}\right)^{0.98}$$

$$z_{\rm y} = z_{\rm q}$$

Dove il K<sub>h</sub> è il coefficiente sismico orizzontale. Le verifiche sono state effettuate considerando quindi i seguenti parametri sismici:

- $a_{MAX}$  (ag/g): **0.238 g** (relativa a SLV; Tr = 475 anni);
- coefficiente intensità sismica del terreno K<sub>h</sub>: 0.057

La determinazione della resistenza Rd GEO è stata svolta nella condizione sia a breve che a lungo termine per l'intervento in progetto.

La resistenza Rd calcolata in condizioni "non drenate" dove  $Cu \neq 0$  e  $\phi = 0$ , applicando il coefficiente parziale di riduzione della coesione non drenata secondo la seguente

relazione Cud = Cuk / 1.0, per cui si avrà Cud = Cuk, dove Cud = coesione non drenata di progetto e Cuk = coesione non drenata caratteristica, sarà pari a:

CONDIZIONE STATICA – CONDIZIONI NON DRENATE – A1+M1+R3			
Profondità di imposta	Dimensioni della fondazione	Carico limite ultimo SLU F.S. = 2.3	
D = -0.80  m da p.c.	B = 3.00 m x L = 4.60 m	$5.03 \text{ kg/cm}^2 \approx 503 \text{ kN/m}^2$	

La resistenza Rd calcolata in condizioni "drenate" seguendo l'Approccio 2, combinazione (A1 + M1 + R3), applicando il coefficiente di riduzione parziale per la tangente dell'angolo di attrito secondo la relazione:  $\mathbf{tg} \ \phi'\mathbf{d} = \mathbf{tg} \ \phi'\mathbf{k} \ /1,0$ , dove  $\phi'\mathbf{d} \ \mathbf{e}$  l'angolo d'attrito di progetto, ne deriva, essendo  $\phi'\mathbf{k} = \phi'\mathbf{d}$ . Quindi secondo la formula di Terzaghi si ottiene, per l'intervento in progetto uno stato limite ultimo pari a:

CONDIZIONE STATICA – CONDIZIONI DRENATE – A1+M1+R3						
Profondità di impo	osta Dimensioni della fondazione	Carico limite ultimo SLU F.S. = 2.3				
D = -0.80 m da p	e.c. B = 3.00 m x L = 4.60 m	6.38 kg/cm <sup>2</sup> ≈ 638 kN/m <sup>2</sup>				
CONDIZION	CONDIZIONE PSEUDO-STATICA – CONDIZIONI DRENATE – A1+M1+R3					
Profondità di impo	osta Dimensioni della fondazione	Carico limite ultimo SLU F.S. = 2.3				
D = -0.80 m da p	e.c. $B = 3.00 \text{ m x L} = 4.60 \text{ m}$	6.29 kg/cm <sup>2</sup> ≈ 629 kN/m <sup>2</sup>				

#### 4.4 VERIFICA ALLA LIQUEFAZIONE

Per liquefazione di un terreno s'intende il quasi totale annullamento della sua resistenza al taglio, con l'assunzione del comportamento meccanico caratteristico dei liquidi. I fenomeni di liquefazione interessano i <u>depositi sabbiosi saturi</u> e dipendono da:

- proprietà geotecniche dei terreni;
- caratteristiche delle vibrazioni sismiche e loro durata;
- genesi e storia geologica dei terreni;
- fattori ambientali.

Un *terreno incoerente saturo*, in assenza di sollecitazioni sismiche, è soggetto soltanto alla pressione litostatica, dovuta al peso dei sedimenti sovrastanti (in campo libero e con superficie piana).

Durante una sollecitazione sismica vengono indotte nel terreno delle sollecitazioni cicliche di taglio, dovute alla propagazione delle onde sismiche verso la superficie, mentre la pressione litostatica resta costante. Per tutta la durata della scossa ogni elemento di terreno è soggetto ad una serie di sforzi tangenziali che cambiano ripetutamente verso ed ampiezza.

Nel terreno si possono generare fenomeni di liquefazione se la scossa sismica produce un numero di cicli tale da far sì che la pressione interstiziale uguagli la pressione di confinamento. Nei depositi la pressione di confinamento aumenta con la profondità, mentre l'ampiezza dello sforzo di taglio indotto dal sisma diminuisce. La resistenza alla liquefazione quindi è maggiore con la profondità. Di conseguenza, maggiore è la *durata di un terremoto* (maggior numero di cicli), più alta è la possibilità che si arrivi alla liquefazione. Inoltre, maggiore è l'*ampiezza della vibrazione* e della deformazione indotta e minore è il numero di cicli necessari per giungere a tale condizione.

Il terreno può essere però soggetto a sforzi di taglio statici dovuti alla presenza di strutture in superficie o alla sua particolare posizione (per es. al di sotto di un versante). In questo caso l'instaurarsi del fenomeno della liquefazione dipende, oltre che dalle caratteristiche del sisma, anche dal rapporto che si stabilisce tra le tensioni di taglio indotte da quest'ultimo e quelle statiche preesistenti al terremoto.

La probabilità che un deposito raggiunga le condizioni per la liquefazione dipende anche dallo stato di addensamento, dalla composizione granulometrica, dalle condizioni di drenaggio, dalla storia delle sollecitazioni sismiche e dall'età del deposito stesso.

Tanto minore è il *grado di addensamento* del materiale (elevato indice dei vuoti e bassa densità relativa) tanto maggiore è la probabilità che, a parità di altre condizioni, un deposito raggiunga lo stato di liquefazione.

Anche la *distribuzione*, la *forma delle particelle* e il *grado di uniformità* influenzano notevolmente il fenomeno, per le implicazioni che questi fattori hanno sulla resistenza al taglio e per il modo di dissiparsi della pressione interstiziale in eccesso.

Per quanto riguarda la **storia delle sollecitazioni sismiche**, si può affermare che <u>precedenti deformazioni moderate</u> influiscano positivamente sulla resistenza del deposito, mentre una storia caratterizzata da <u>alti livelli di deformazione</u> (deposito già soggetto a liquefazione) ha effetti negativi sul potenziale di riliquefazione.

I depositi sabbiosi con più alto potenziale di liquefazione sono i <u>più recenti</u>. A parità di composizione e di altre condizioni lo stesso deposito, se <u>più antico</u>, avrà sviluppato legami intergranulari e cementazioni sempre più forti con il tempo.

Inoltre, la struttura di un deposito antico sarà resa più stabile e omogenea per gli effetti delle vibrazioni indotte da precedenti terremoti di piccola entità.

Dopo aver caratterizzato il terreno attraverso l'interpretazione di dati da prove penetrometriche statiche CPT, è stata eseguita una stima del rischio di liquefazione di terreni sotto falda in condizioni sismiche, mediante il metodo semplificato di "Robertson e Wride".

I metodi semplificati richiedono che venga definito un sisma di progetto, attraverso l'introduzione dell'accelerazione sismica orizzontale massima in superficie e della magnitudo di riferimento.

I dati del sisma di progetto sono stati ricavati attraverso l'analisi probabilistica dei dati del Catalogo Sismico Nazionale.

Tutti i metodi semplificati permettono di esprimere la suscettibilità alla liquefazione del deposito attraverso un coefficiente di sicurezza, dato dal rapporto fra la **resistenza al taglio mobilitabile nello strato** ( R ) e lo **sforzo tangenziale indotto dal sisma** (T). In pratica si avrà:

$$F_s = \frac{R}{T}$$

Un deposito dovrà essere considerato suscettibile di liquefazione se il coefficiente di sicurezza Fs sarà minore di 1.

La grandezza **T** dipende dai parametri del sisma di progetto (accelerazione sismica e magnitudo di progetto). **R** è funzione delle caratteristiche meccaniche dello strato, principalmente del suo stato di addensamento, e può essere ricavato direttamente attraverso correlazioni con i risultati di prove penetrometriche statiche.

La grandezza **T** viene ricavata attraverso la relazione:

$$T = 0.65 \frac{a_{\text{max}}}{g} \frac{\sigma_{v0}}{\sigma_{v0}} r_d \frac{1}{MSF};$$

dove:

a<sub>max</sub> = accelerazione sismica massima;

g = accelerazione di gravità =  $980.7 \text{ cm/s}^2$ ;

 $\sigma_{v0}$  = pressione verticale totale alla profondità z dal p.c.;  $\sigma_{v0}$ ' = pressione verticale efficace alla profondità z dal p.c.;

r<sub>d</sub> = coefficiente funzione della profondità dal p.c., valutabile secondo il

seguente schema:

 $r_d$ =1-0.00765z per z≤9.15 m  $r_d$ =1.174-0.0267z per 9.15<z≤23 m  $r_d$ =0.774-0.008z per 23<z≤30 m

 $r_d$ =0.5 per z>30 m

MSF = coefficiente correttivo funzione della magnitudo del sisma.

Il metodo di **Robertson e Wride** permette di correlare la resistenza al taglio **R** mobilitata nel terreno con i risultati delle prove penetrometriche statiche (CPT). La procedura di calcolo si basa sulle due seguenti equazioni:

$$R = 0.883 \left[ \frac{(q_{c1n})_{cs}}{1000} \right] + 0.05 \qquad \text{per } (q_{c1n})_{cs} < 50 \text{ e}$$

$$R = 93 \left[ \frac{(q_{c1n})_{cs}}{1000} \right]^3 + 0.08 \qquad \text{per } 50 \le (q_{c1n})_{cs} < 160.$$

La grandezza  $(q_{c1n})_{cs}$  rappresenta la resistenza alla punta normalizzata e corretta per tenere conto della percentuale di fine presente.

Viene considerato **non** liquefacibile un deposito in cui sia Fs>1.

#### Calcolo dell'indice di liquefacibilità

Una stima del rischio di liquefazione complessivo lungo una verticale di calcolo viene fornita dal parametro indice di liquefazione **IL**. Tale indice viene definito dalla seguente relazione:

$$IL = \sum_{i=1}^{n} FW(z) \Delta z$$

dove:

n = numero degli intervalli di calcolo di Fs lungo la verticale;

F = 1-Fs per Fs $\leq$ 1 e F = 0 per Fs $\geq$ 1;

 $\Delta z$  = spessore dell'intervallo di calcolo;

W(z) = 10 - 0.5z, con z = profondità di calcolo (massimo 20 m).

In base al valore di IL ottenuto è possibile fornire un'indicazione del rischio di liquefazione attraverso la seguente tabella:

IL	Rischio di liquefazione	
IL=0	Molto basso	
0 <il≤5< td=""><td>Basso</td></il≤5<>	Basso	
5 <il≤15< td=""><td>Alto</td></il≤15<>	Alto	
15 <il< td=""><td>Molto alto</td></il<>	Molto alto	

Dalla verifica alla liquefazione eseguita per l'area in oggetto è stato ottenuto, per la prova penetrometrica eseguita, un valore di IL = 0.0, indice di un **rischio di liquefazione** "molto basso" (Allegato n. 5), considerando una magnitudo di riferimento M = 6.14, una accelerazione massima al suolo  $A_{max} = 0.238_g$  (secondo N.T.C. 2018) e la

soggiacenza della falda freatica ipotizzata cautelativamente alla profondità di  $D_w$  = -1.00 m da p.c..

#### 4.5 VERIFICA DI STABILITÀ DI VERSANTE

È stata eseguita una verifica di stabilità del versante per la realizzazione della cabina antenna in condizioni non drenate (breve termine).

Tale verifica di stabilità è necessaria al fine di garantire la sicurezza degli addetti ai lavori e la stabilità dell'area al contorno.

Per le verifiche di stabilità dei pendii, *Slide* utilizza l'approccio di equilibrio limite (LEM), considerando una geometria bidimensionale ed un comportamento rigido perfettamente plastico dei suoli con un criterio di resistenza al cedimento di tipo Mohr-Coulomb. Il fattore di sicurezza FS è definito come quel fattore per cui la resistenza al taglio del suolo deve essere ridotta allo scopo di portare la massa del suolo in uno stato di equilibrio limite lungo una superficie di scivolamento selezionata. La massa di scivolamento su una superficie di cedimento è divisa in diversi conci. Le forze che agiscono su ciascun concio sono ottenute considerando l'equilibrio meccanico per il numero di conci.

Per l'analisi di stabilità secondo l'approccio LEM è stato adottato il metodo proposto da Bishop (1955), nella forma semplificata. Tale metodo viene sviluppato attraverso le sequenti fasi:

- > viene ipotizzata una superficie di rottura circolare;
- > il terreno è suddiviso in n conci;
- si impone l'equilibrio dei momenti delle forze agenti in ciascun concio rispetto al centro del cerchio;
- dalla condizione di equilibrio delle forze verticali in ciascun concio si ottengono le forze N (normali alla superficie di rottura) e si sostituiscono nell'equazione risultante dell'equilibrio dei momenti;
- > si ipotizza che le forze di contatto tra i due conci non influiscano poiché si trovano in equilibrio;
- > si ottiene così il coefficiente di sicurezza FS, della superficie considerata.

Il coefficiente di sicurezza risulta quindi calcolato secondo la seguente relazione:

$$FS = \frac{\sum [cAcas \ \alpha + (W - U \ cas \ \alpha) \ tan \ \varphi][1/Mt(\alpha)]}{\sum Wsin\alpha}$$

dove:

$$Mt(\alpha) = \cos\alpha \left(1 + \frac{\tan\varphi \, \tan\alpha}{FS}\right)$$

Si illustra successivamente il modello geotecnico schematico di **progetto**, utilizzato ai fini delle verifiche di stabilità e derivante dalla caratterizzazione geotecnica del sottosuolo indagato:

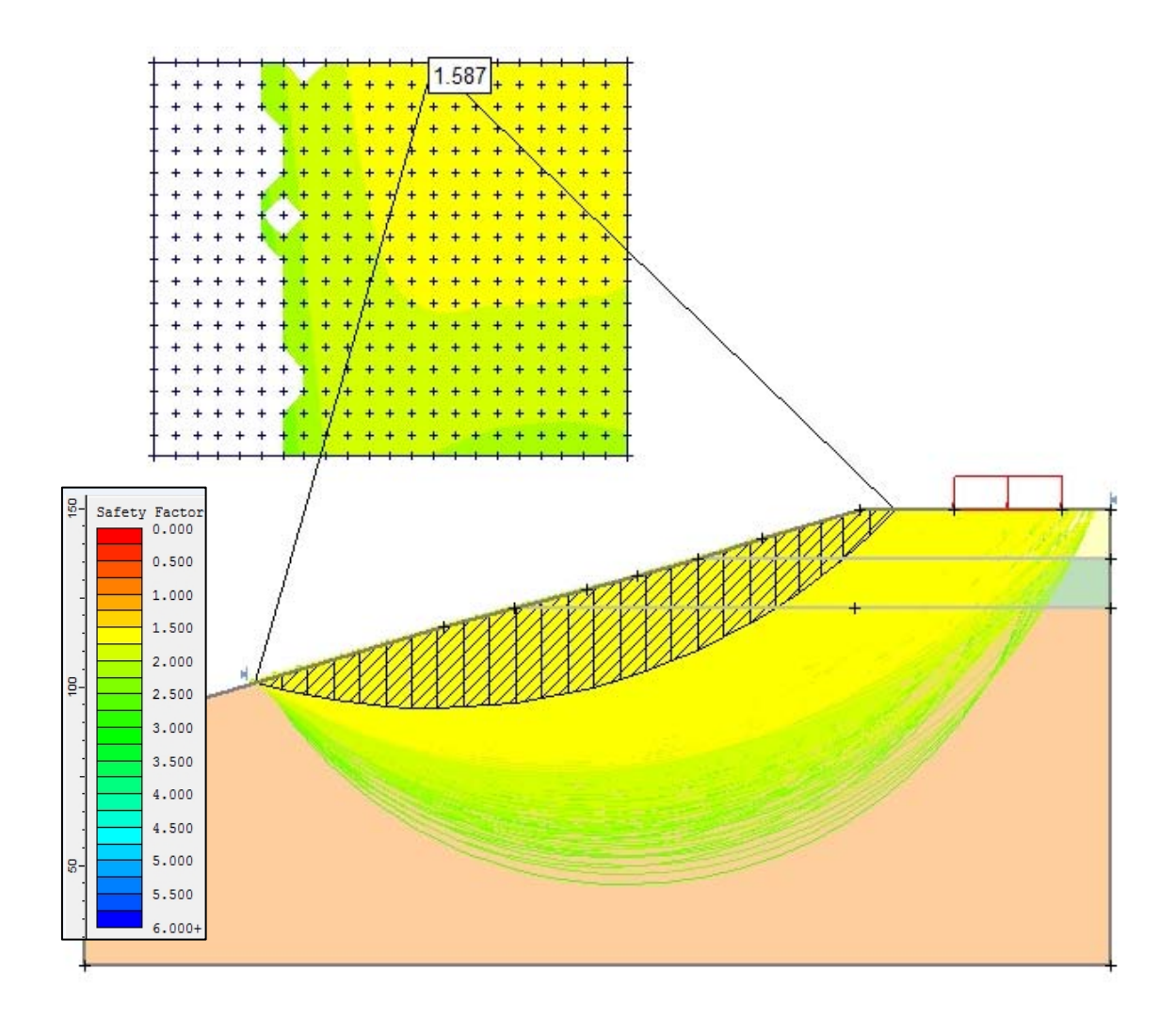
	Unità	Y nat (d) (kN/m³)	Y sat (d) (kN/m³)	Cu <sub>(d)</sub> (kPa)
<b>A</b> 1	ARGILLA LIMOSA MOLTO CONSISTENTE	19.00	22.00	142.86
<b>A2</b>	ARGILLA LIMOSA CONSISTENTE	18.50	21.50	121.43
<b>A3</b>	ARGILLA LIMOSA MOLTO CONSISTENTE	19.00	22.00	192.86

Parametri geotecnici progettuali (d) delle unità geotecniche che compongono il modello analizzato secondo approccio di verifica LEM

Per la verifica in oggetto è stato considerato pari a  $\Delta P = 200 \text{ kN/m}^2$ .

Si illustra successivamente il modello geotecnico schematico di **progetto**, utilizzato ai fini

La verifica ha identificato un valore di **fattore di sicurezza per il versante studiato** pari a **FS=1.587**, **superiore al valore di FS =1.1** imposto come soglia di sicurezza dalla normativa tecnica nazionale NNTC 2018, indicativo di sufficiente stabilità. Il valore del fattore di sicurezza ottenuto garantisce la stabilità del versante.



#### 5 CONSIDERAZIONI CONCLUSIVE

La presente relazione è stata redatta al fine di fornire lo studio del terreno di fondazione per la realizzazione di una nuova cabina e antenna per servizi di telecomunicazione, sita in Via del Ruvinello, nel Comune di Fiorano Modenese (MO).

In relazione a quanto esposto nelle Nuove Norme Tecniche per le Costruzioni in zona sismica del 2018, si è proceduto alla <u>verifica nei confronti degli stati limite ultimi</u> (SLU). Nel nostro caso specifico, per quanto riguarda le opere di fondazione, nelle verifiche di sicurezza agli stati limite ultimi è stato calcolato l'SLU sia a breve che a lungo termine per l'intervento in progetto, utilizzando i seguenti approcci di calcolo:

a) Approccio 2 combinazione (A1 + M1 + R3).

I risultati sono visibili nel § 4.2.3.

Si riassumono nella seguente tabella i valori di portanza del terreno di fondazione calcolati agli stati limite ultimi **SLU** relativamente alle fondazioni ipotizzate e sopra descritte.

SLU - APPROCCIO 2 (A1 + M1 + R3) - F.S.= 2.3					
CONDIZIONI	CONDIZIONI DRENATE				
DRENATE	STATICHE	SISMICHE PSEUDOSTATICHE			
5.03 kg/cm <sup>2</sup> ≈ 503 kN/m <sup>2</sup>	6.38 kg/cm <sup>2</sup> ≈ 638 N/m <sup>2</sup>	6.29 kg/cm <sup>2</sup> ≈ 629 kN/m <sup>2</sup>			

La <u>caratterizzazione sismica</u> del sito è stata condotta sulla base di una indagine geofisica di tipo MASW eseguita nelle immediate vicinanze dell'area in studio, (§ 4.1), che ha permesso di determinare che:

 la velocità media delle onde di taglio nei primi 30 m di profondità V<sub>s30</sub> ha i seguenti valori:

indagine MASW	Vs <sub>30</sub> = <b>277 m/s</b>
---------------	-----------------------------------

Secondo la classificazione del suolo della nuova normativa sismica per gli edifici (N.T.C. 2018) si classifica il terreno di fondazione come appartenente alla categoria **C**, corrispondente a depositi di terreni a grana grossa mediamente addensati o terreni a

grana fina mediamente consistenti con spessori superiori a 30 m, caratterizzati da un graduale miglioramento delle proprietà meccaniche con la profondità e da valori di  $V_{S30}$  compresi tra 180 e 360 m/s (ovvero 15 <  $N_{SPT,30}$  < 50 nei terreni a grana grossa e 70 <  $c_{u,30}$  < 250 kPa nei terreni a grana fina).

Il calcolo dei cedimenti, considerando un incremento di carico da Noi ipotizzato pari a  $\Delta P$  = 0.40 kg/cm<sup>2</sup>  $\approx$  40 kN/m<sup>2</sup>, ha fornito valori di assestamento per la struttura in esame, pari a S = 0.26 cm.

Ora, sulla base dei contenuti delle N.T.C. 2018 "Nuove Norme Tecniche per le Costruzioni" è stato definito un parametro di accelerazione massima attesa  $a_g$  in relazione ad un tempo di riferimento  $T_R$  stimato di 475 anni. Per l'area in oggetto, identificata dalle seguenti coordinate geografiche (ED50): Latitudine: 44.534370°, Longitudine 10.802981°, tale parametro è risultato pari ad  $a_{q \text{ attesa}} = 0.162_q$ .

Tale valore si riferisce al bedrock; dopo gli opportuni calcoli, si ottiene il seguente valore di  $A_{max} = 0.238g$ .

In considerazione all'intervento in progetto nell'area in oggetto è stata eseguita una verifica di stabilità del versante, mediante l'utilizzo del software **SLIDE 5.044** in ottemperanza alle NNTC 2018. La verifica eseguita, considerando un carico applicato sul terreno da parte di ogni fabbricato pari a  $\Delta P = 200 \text{ kN/m}^2$ , ha fornito il valore di fattore di sicurezza FS = 1.587, superiore al valore di FS =1.1 imposto come soglia di sicurezza dalla normativa tecnica nazionale NNTC 2018, indicativo di sufficiente stabilità. Tale valore del coefficiente di stabilità garantisce la stabilità del versante post intervento.

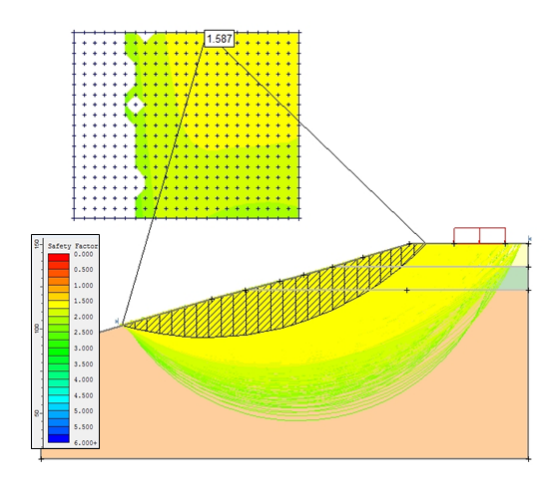


Fig. 5.0: Verifica di stabilità di versante eseguita per il sito oggetto di interventi.

35

La verifica alla liquefazione, eseguita secondo il metodo di Robertson e Wride ha fornito un valore di "indice di liquefacibilità" IL pari a 0.0 segno di un rischio di liquefazione "molto basso".

In virtù delle indagini geologiche, geotecniche e sismiche eseguite nell'area in oggetto e sulla base delle considerazioni, delle ipotesi e dei calcoli svolti si esprime parere favorevole per quanto di competenza relativamente alla fattibilità dell'intervento in oggetto, avendone verificato la compatibilità da un punto di vista geologico, geotecnico, idrogeologico e sismico, secondo le prescrizioni riportate nei capitoli precedenti.

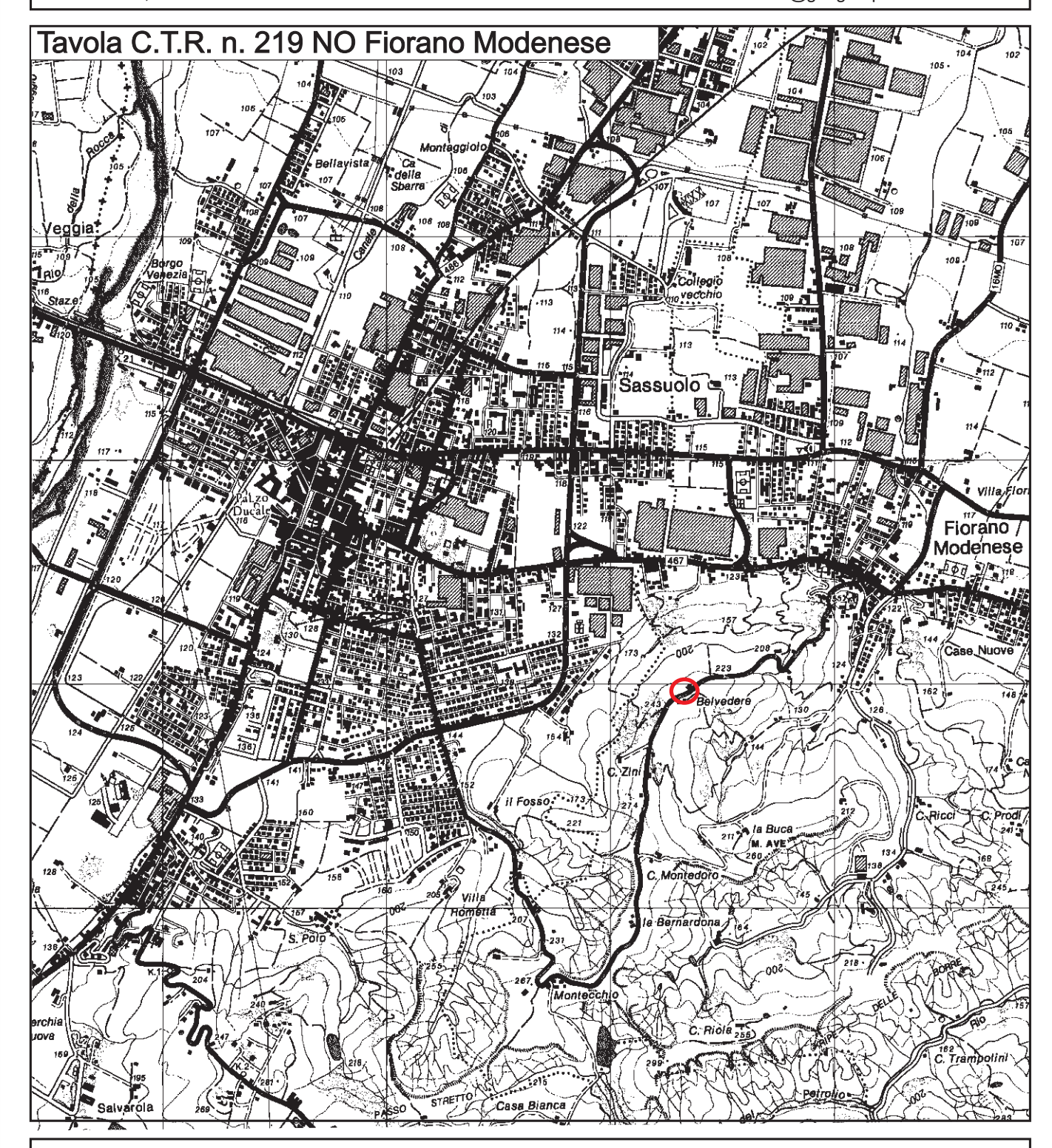
A disposizione per ulteriori chiarimenti cogliamo l'occasione per porgere distinti saluti.

Modena, 12 Giugno 2019

Dott. Geol. Pier Luigi Dallar

Indagini geognostiche e geofisiche – geologia applicata alle costruzioni – laboratorio geotecnico - idrogeologia – coltivazione cave– bonifiche – consolidamenti – geologia ambientale – consulenze geologiche e geotecniche
Tavole
747070

Indagini geognostiche, geofisiche e consulenze geologiche e geotecniche 182, via C. Costa 41100 Modena - Tel. 059/3967169 - Fax. 059/5960176 - E-mail: info@geogroupmodena.it



Tav. n. 1 "Carta Corografica" Scala 1: 25000



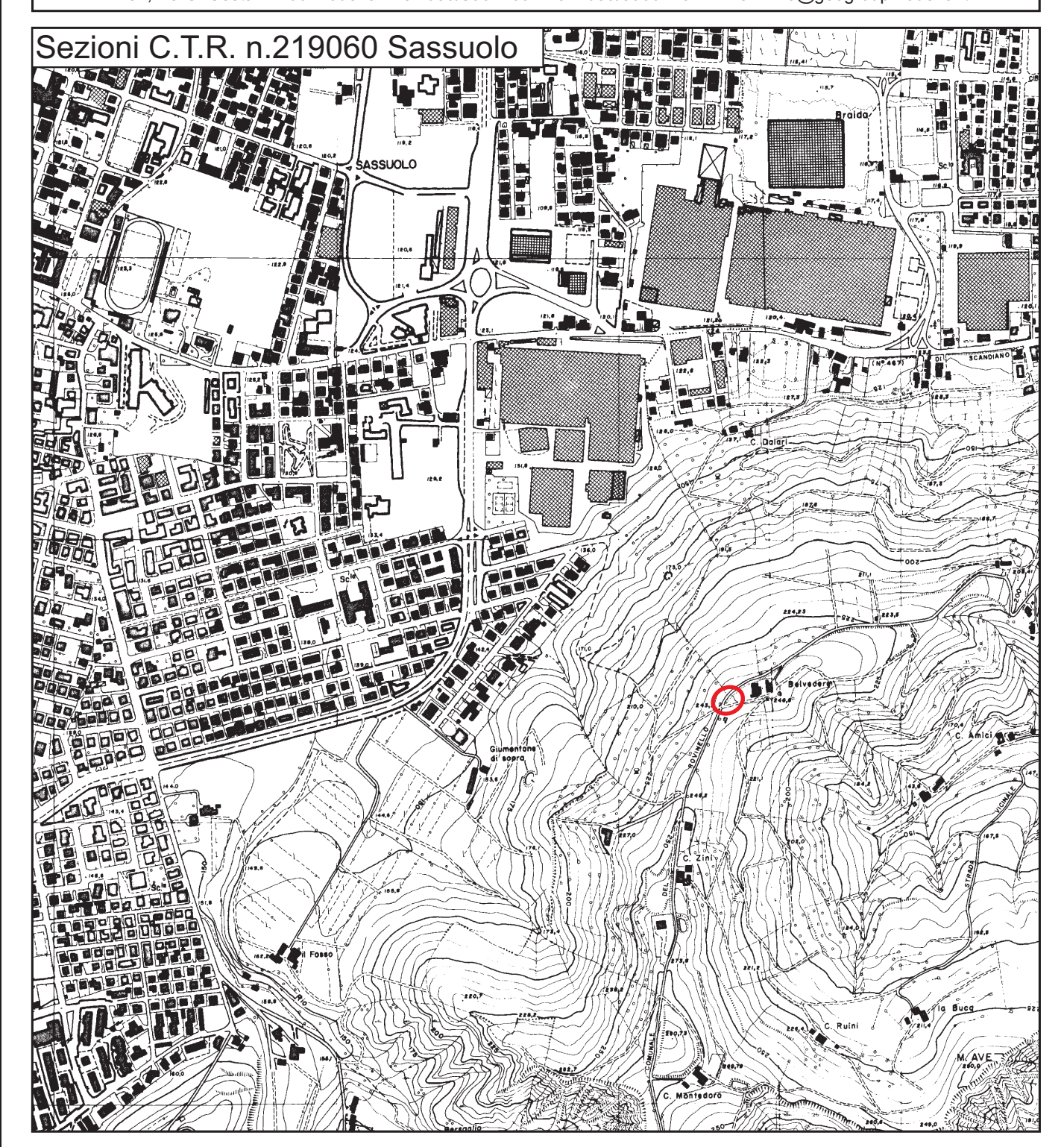
Legenda



Area di interesse

## **GEO GROUP S.r.I.**

Indagini geognostiche, geofisiche e consulenze geologiche e geotecniche 182, via C. Costa 41100 Modena - Tel. 059/3967169 - Fax. 059/5960176 - E-mail: info@geogroupmodena.it



Tav. n. 2 "Carta topografica" Scala 1: 10000



Legenda



Area di interesse

Indagini geognostiche, geofisiche e consulenze geologiche e geotecniche 182, via C. Costa 41100 Modena - Tel. 059/3967169 - Fax. 059/5960176 - E-mail: info@geogroupmodena.it





# Tav. n. 3 "Ripresa fotografica generale dell'area di interesse"

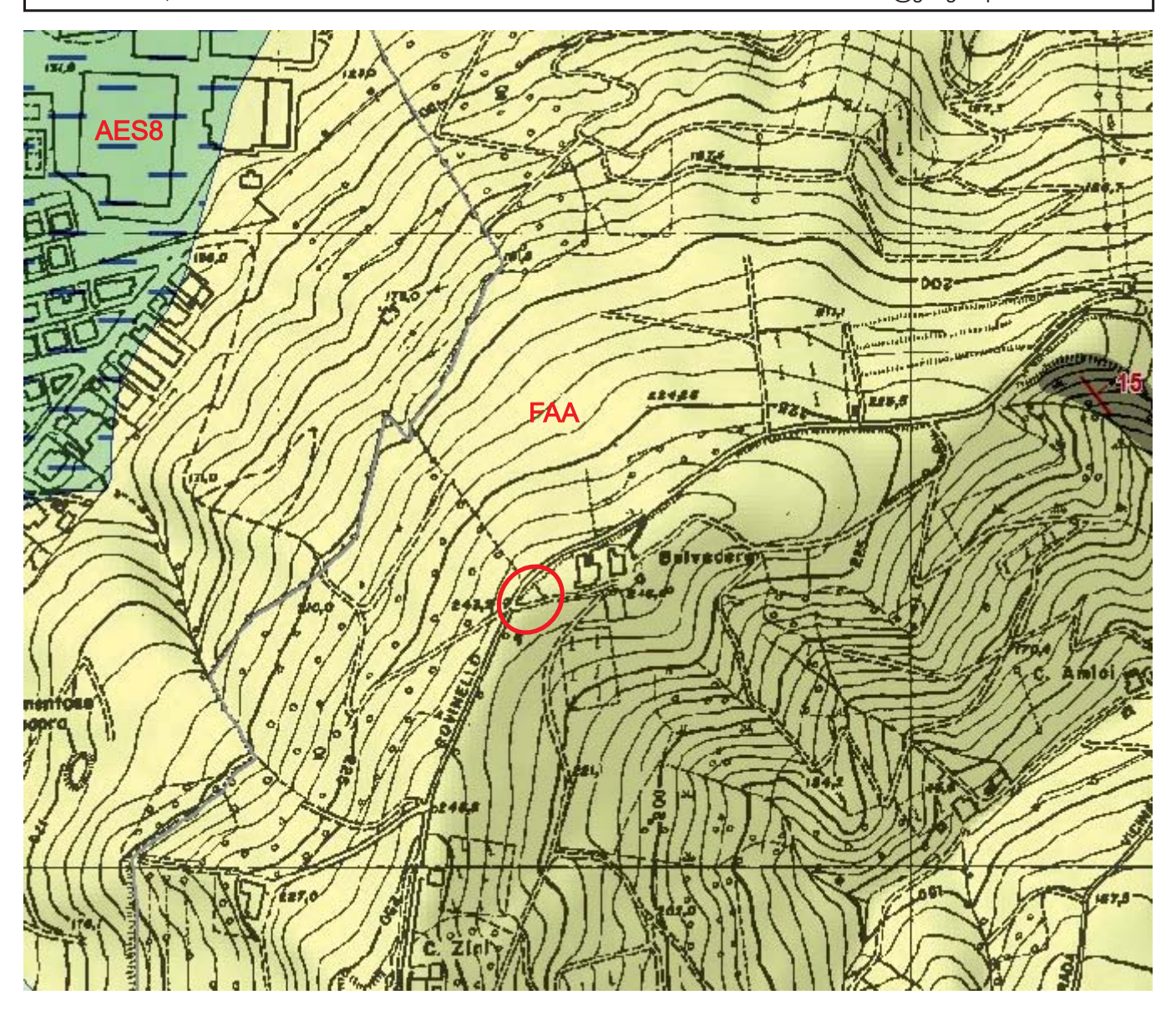
(tratta da "Google Earth")
Scala grafica



Area oggetto di studio

Indagini geognostiche, geofisiche e consulenze geologiche e geotecniche

182, via C. Costa 41100 Modena - Tel. 059/3967169 - Fax. 059/5960176 - E-mail: info@geogroupmodena.it



Tav. n. 4 "Carta della litologia di superficie" Scala 1: 5000

Legenda







#### AES8 - Subsintema di Ravenna

Ghiaie e ghiaie sabbiose, passanti a sabbie e limi organizzate in numerosi ordini di terrazzi alluvionali.

Olocene (età radiometrica della base

Olocene (età radiometrica della base 11.000 - 8.000 anni).

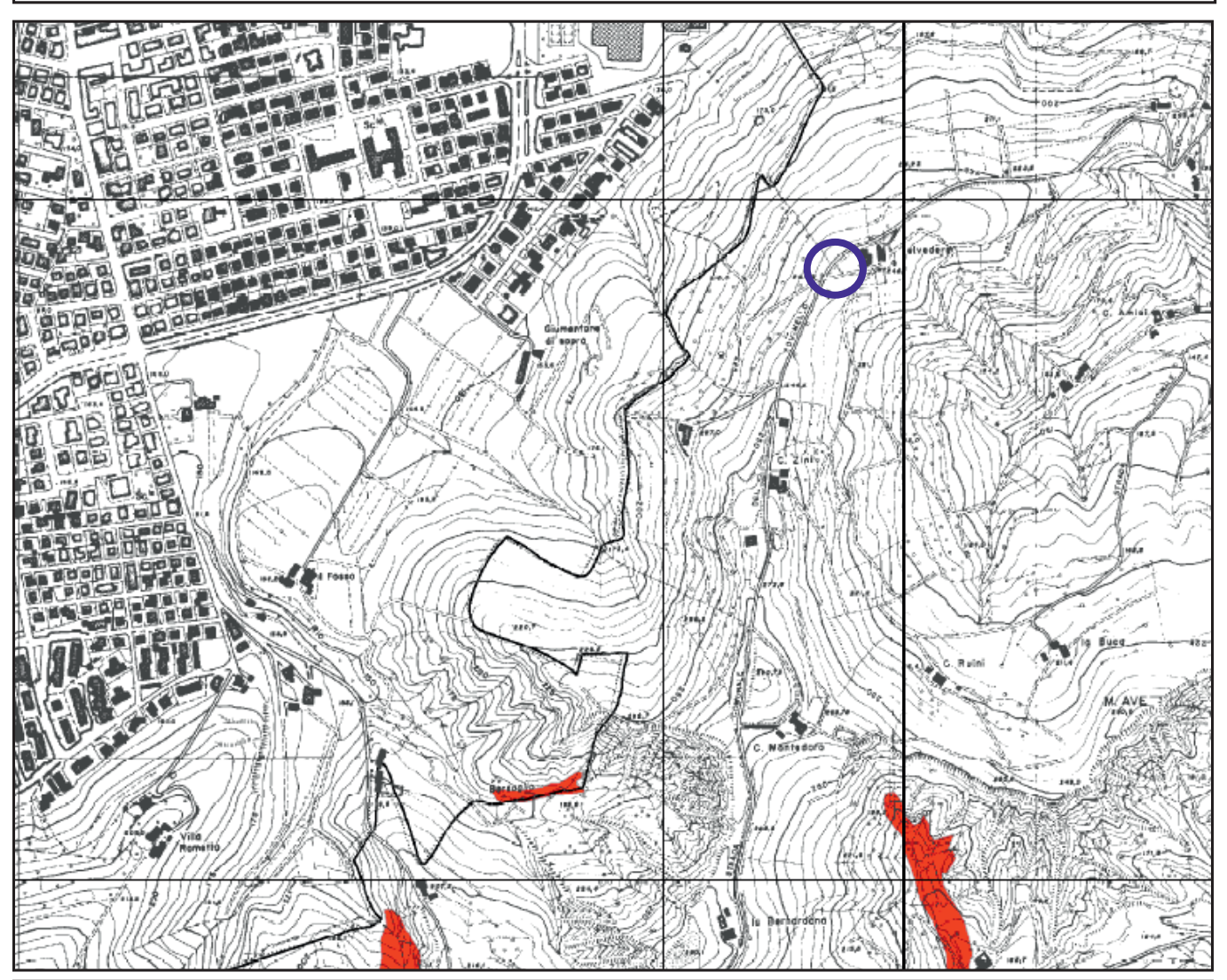


#### FAA - Argille Azzurre

Argille, argille marnose, marne argillose e siltose grigie e grigio-azzurre.

Pliocene inferiore - Pleistocene superiore

**GEO GROUP S.r.I.**Indagini geognostiche, geofisiche e consulenze geologiche e geotecniche
182, via C. Costa 41100 Modena - Tel. 059/3967169 - Fax. 059/5960176 - E-mail: info@geogroupmodena.it



## Tav. n. 5 "Rischio da frana: carta del Dissesto"



(Approvato con D.C.P. n. 46 del 18/03/2009)

Scala grafica

	VOCI DI LEGENDA					
	Zone ed elementi caratterizzati da fenomeni di dissesto e instabilità					
	Aree interessate da frane attive	44.45				
	Aree interessate da frane quiescenti	Art.15				
10.00	Zone ed elementi caratterizzati da potenziale instabilità					
	Aree potenzialmente instabili	Art.16				
	Aree a rischio idrogeologico elevato e molto elevato					
Codice	Abitati da consolidare o da trasferire (perimetrazione approvata ai sensi dell'art.29 comma 2 del PTPR)	Art.17				
scheda 2.1.1	Aree a rischio idrogeologico molto elevato	Art.18A				
NR	Aree a rischio da frana perimetrate e zonizzate a rischio molto elevato (R4) ed elevato (R3)					





**GEO GROUP S.r.I.**Indagini geognostiche, geofisiche e consulenze geologiche e geotecniche
182, via C. Costa 41100 Modena - Tel. 059/3967169 - Fax. 059/5960176 - E-mail: info@geogroupmodena.it





## Tav. n. 6 "Indagini geognostiche"

(tratta da "Bing Mappe") Scala grafica

Legenda



Prova penetrometrica CPT



Indagine sismica passiva HVSR



Indagine sismica MASW

Indagini geognostiche e geofisiche – geologia applicata alle costruzioni – laboratorio geotecnico - idrogeologia – coltivazione cave– bonifiche – consolidamenti – geologia ambientale – consulenze geologiche e geotecniche

## **ALLEGATO N° 1**

Prova penetrometrica statica CPT corredata di interpretazione geotecnica

### LEGENDA VALORI DI RESISTENZA **FATTORI DI CONVERSIONE**

#### Strumento utilizzato: Pagani TG63-100 -

#### Caratteristiche:

- punta conica meccanica Ø 35.7 mm, area punta Ap = 10 cm<sup>2</sup>
- punta conica meccanica angolo di apertura: α = 60°
- manicotto laterale di attrito tipo 'Begemann' (Ø = 35.7 mm h = 133 mm Am = 150 cm²)
- velocità di avanzamento costante V = 2 cm/sec (± 0,5 cm / sec)
- spinta max nominale dello strumento Smax variabile a seconda del tipo
- costante di trasformazione CT = SPINTA (Kg) / LETTURA DI CAMPAGNA (dato tecnico legato alle caratteristiche del penetrometro utilizzato, fornito dal costruttore)

fase 1 - resistenza alla punta:

 $qc(MPa) = (L1) \times CT/10$ 

fase 2 - resistenza laterale locale: fs (kPa) = [(L2) - (L1)] x CT / 150

fase 3 - resistenza totale:

 $Rt (kPa) = (Lt) \times CT$ 

- Prima lettura = lettura di campagna durante l' infissione della sola punta (fase 1)

- Seconda lettura = lettura di campagna relativa all'infissione di punta e manicotto

(fase 2)

- Terza lettura

= lettura di campagna relativa all'infissione delle aste esterne

(fase 3)

N.B.: la spinta S (Kg), corrispondente a ciascuna fase, si ottiene moltiplicando la corrispondente lettura di campagna L per la costante di trasformazione CT.

N.B. : causa la distanza intercorrente ( 20 cm circa ) fra il centro del manicotto laterale e la punta conica del penetrometro, la resistenza laterale locale fs viene computata 20 cm sopra la punta.

#### CONVERSIONI

```
1 kN (kiloNewton) = 1000 N \approx 100 kg = 0,1 t
```

1 MN (megaNewton) =  $1.000 \text{ kN} = 1.000.000 \text{ N} \approx 100 \text{ t}$ 

1 kPa (kiloPascal) = 1 kN/m<sup>2</sup> = 0,001 MN/m<sup>2</sup> = 0,001 MPa  $\approx 0.1 \text{ t/m}^2 = 0.01 \text{ kg/cm}^2$ 

1 MPa (megaPascal) = 1 MN/m² = 1.000 kN/m² = 1000 kPa ≈ 100 t/m² = 10 kg/cm²

 $1 \text{ kg/cm}^2 = 10 \text{ t/m}^2 \approx 100 \text{ kN/m}^2 = 100 \text{ kPa} = 0,1 \text{ MN/m}^2 = 0,1 \text{ MPa}$ 

1 t = 1000 kg ≈ 10 kN

## LEGENDA VALUTAZIONI LITOLOGICHE CORRELAZIONI GENERALI

Valutazioni in base al rapporto:

F = (qc / fs)

Begemann 1965 - Raccomandazioni A.G.I. 1977

Valide in via approssimata per terreni immersi in falda :

F = qc / fs

NATURA LITOLOGICA

PROPRIETA'

F  $\leq$  1470 kPa TORBE ED ARGILLE ORGANICHE

COESIVE

1470 kPa < F ≤ 2940 kPa LIMI ED ARGILLE

COESIVE

2940 kPa < F < 5880 kPa LIMI SABBIOSI E SABBIE LIMOSE

GRANULARI

F > 5880 kPa SABBIE E SABBIE CON GHIAIA

GRANULARI

Vengono inoltre riportate le valutazioni stratigrafiche fornite da Schmertmann (1978), ricavabili in base ai valori di qc e di FR = (fs / qc) % :

- AO = argilla organica e terreni misti

- Att = argilla (inorganica) molto tenera

- At = argilla (inorganica) tenera

- Am = argilla (inorganica) di media consistenza

- Ac = argilla (inorganica) consistente

- Acc = argilla (inorganica) molto consistente

- ASL = argilla sabbiosa e limosa

- SAL = sabbia e limo / sabbia e limo argilloso

- Ss = sabbia sciolta

- Sm = sabbia mediamente addensata

- Sd = sabbia densa o cementata

- SC = sabbia con molti fossili, calcareniti

Secondo Schmertmann il valore della resistenza laterale da usarsi, dovrebbe essere pari a:

- 1/3 ± 1/2 di quello misurato , per depositi sabbiosi
- quello misurato (inalterato), per depositi coesivi.

### LEGENDA PARAMETRI GEOTECNICI SPECIFICHE TECNICHE

Le scelte litologiche vengono effettuate in base al rapporto qc / fs (Begemann 1965 - A.G.I. 1977) prevedendo altresì la possibilità di casi dubbi :

qc ≤ 1.96 MPa : possibili terreni COESIVI qc ≥ 1.96 MPa : possibili terreni GRANULARI

anche se (qc/fs) > 30anche se (qc/fs) < 30

1.96 2-AO 2-A 4-S/A 0.69 1-TAO\* 30 qc/fs

#### NATURA LITOLOGICA

- 1 COESIVA (TORBOSA) ALTA COMPRIM.
- 2 COESIVA IN GENERE
- 3 GRANULARE
- 4 COESIVA / GRANULARE

PARAMETRI GEOTECNICI (validità orientativa) - simboli - correlazioni - bibliografia

 $\gamma'$  = peso dell' unità di volume (efficace) del terreno [correlazioni :  $\gamma'$  - qc - natura] (Terzaghi & Peck 1967 - Bowles 1982)

 $\sigma'$ vo = tensione verticale geostatica (efficace) del terreno (valutata in base ai valori di  $\gamma'$ )

Cu = coesione non drenata (terreni coesivi) [correlazioni: Cu - qc]

OCR = grado di sovra consolidazione (terreni coesivi ) [ correlazioni : OCR - Cu -  $\sigma$  'vo] ( Ladd et al. 1972 / 1974 / 1977 - Lancellotta 1983)

Eu = modulo di deformazione non drenato (terreni coesivi) [ correl. : Eu - Cu - OCR - lp | lp= ind.plast.] Eu50 - Eu25 corrispondono rispettivamente ad un grado di mobilitazione dello sforzo deviatorico pari al 50-25% (Duncan & Buchigani 1976)

E' = modulo di deformazione drenato (terreni granulari) [ correlazioni : E' - qc ]
E'50 - E'25 corrispondono rispettivamente ad un grado di mobilitazione dello sforzo deviatorico
pari al 50-25% (coeff. di sicurezza F = 2 - 4 rispettivamente )
Schmertmann 1970 / 1978 - Jamiolkowski ed altri 1983 )

Mo = modulo di deformazione edometrico (terreni coesivi e granulari) [ correl. : Mo - qc - natura] Sanglerat 1972 - Mitchell & Gardner 1975 - Ricceri et al. 1974 - Holden 1973 )

Dr = densità relativa (terreni granulari N. C. - normalmente consolidati) [ correlazioni : Dr - Rp - σ 'vo (Schmertmann 1976 )]

Ø' = angolo di attrito interno efficace (terreni granulari N.C.) [ correl. : Ø' - Dr - qc<sub>o</sub> 'vo ) ØCa - Caquot (1948) ØKo - Koppejan (1948)

ØDM - Durgunoglu & Mitchell (1975) (sabbie N.C.) 
ØMe - Meyerhof (1956 / 1976) (sabbie limose)

F.L. = accelerazione al suolo che può causare liquefazione (terreni granulari)

( g = accelerazione gravità)(Seed & Idriss 1971 - Sirio 1976 ) [ correlazioni : (Amax/g) - Dr]

Vs = velocità di propagazione delle onde sismiche (Iyisan 1996)

## PROVA PENETROMETRICA STATICA MECCANICA LETTURE CAMPAGNA E VALORI TRASFORMATI

1 riferimento 956-2017 certificato nº 8180

Committente: U.M.: 13/10/2017 MPa Data esec.: Studio tecnico Cantiere: Studio terreno di fondazione Pagina: Data certificato: 13/10/2017 Località: Fiorano Modenese, via Del Rovinello Elaborato: Falda: Non rilevata

H m	L1	L2	Lt -	<b>qc</b> MPa	<b>fs</b> kPa	F -	Rf %	H	L1	L2	Lt	<b>qc</b> MPa	<b>fs</b> kPa	F -	Rf %
0.20	0.00	0.00		0.00	167.00	0	,0					u	4		70
0.40	60.00	85.00		5.88	300.00	20	5.0								
0.60	70.00	115.00		6.86	400.00	18	5.7								
0.80	60.00	120.00		5.88	233.00	26	3.9								
1.00	80.00	115.00		7.84	387.00	21	4.8								
1.20	72.00	130.00		7.06	367.00	20	5.1								
1.40	70.00	125.00		6.86	400.00	18	5.7								
1.60	60.00	120.00		5.88	387.00	16	6.5								
1.80	72.00	130.00		7.06	420.00	17	5.8								
2.00	72.00	135.00		7.06	400.00	18_	5.6								
2.20	68.00	128.00		6.66	300.00	23	4.4								
2.40	65.00	110.00		6.37	387.00	17	6.0								
2.60	72.00	130.00		7.06	407.00	18	5.7								
2.80	71.00	132.00		6.96	433.00	16	6.1								
3.00	65.00	130.00		6.37	447.00	15	6.9								
3.20	68.00	135.00		6.66	400.00 467.00	17	5.9								
3.40	50.00	110.00		4.90	467.00	11	9.3								
3.60	70.00	140.00		6.86	333.00	21	4.8								
3.80	50.00	100.00		4.90	300.00	17	6.0								
1.00	40.00	85.00		3.92	267.00	15	6.7								
1.20 1.40	50.00 50.00	90.00 90.00		4.90	267.00	19	5.3								
1.40	60.00	120.00		4.90	400.00	13	8.0	ll .							
1.60	60.00	120.00		5.88	400.00	15	6.7								
1.80	58.00 52.00	118.00		5.68	387.00	15	6.7								
5.00	52.00	110.00		5.10	347.00	15_	6.7								
5.20 5.40	53.00 50.00	105.00		5.19	333.00	16	6.3								
	56.00	100.00		4.90	367.00	14	7.3								
5.60	55.00	110.00		5.39	300.00	18	5.5								
08.	70.00	115.00		6.86	400.00	18	5.7								
.00	80.00	140.00 140.00		7.84	400.00	20	5.0								
5.20	77.00	130.00		7.84	353.00	23	4.4								
3.40	77.00	130.00		7.55	367.00	21	4.8								
6.60	80.00	135.00		7.84	467.00	17	5.8								
08.6	70.00	140.00		6.86	400.00	18	5.7								
7.00	80.00	140.00 140.00		7.84	333.00	24 27	4.2								
7.20	90.00	140.00		8.82	333.00	27	3.7	l							
7.40	90.00	140.00		8.82	333.00	27	3.7								
7.60	85.00	135.00		8.33	320.00	27	3.8								
7.80 3 <b>.00</b>	84.00	132.00		8.23	353.00	24	4.2								
3.20	83.00 85.00	136.00 136.00		8.13	340.00	24	4.1								
3.40	86.00	140.00		8.33	360.00 367.00	24	4.2								
3.60	90.00	145.00		8.43 8.82	353.00	23 25	4.3 3.9								
3.80	90.00	143.00		8.82	340.00	26	3.8								
0.00	89.00	140.00		8.72	333.00	27	3.7								
2.20	85.00	135.00		8.33	333.00	26	3.9								
9.40	90.00	140.00		8.82	333.00	27	3.7								
9.60	90.00	140.00		8.82	407.00	22	4.5								
08.6	89.00	150.00		8.72	433.00	22 21	4.5 4.9								
0.00		155.00		8.82	100.00		1.0								
	30.00	100.00		0.02											

H = profondità

L1 = prima lettura (punta)

L2 = seconda lettura (punta + laterale)

Lt = terza lettura (totale)

CT =10.00 costante di trasformazione

qc = resistenza di punta

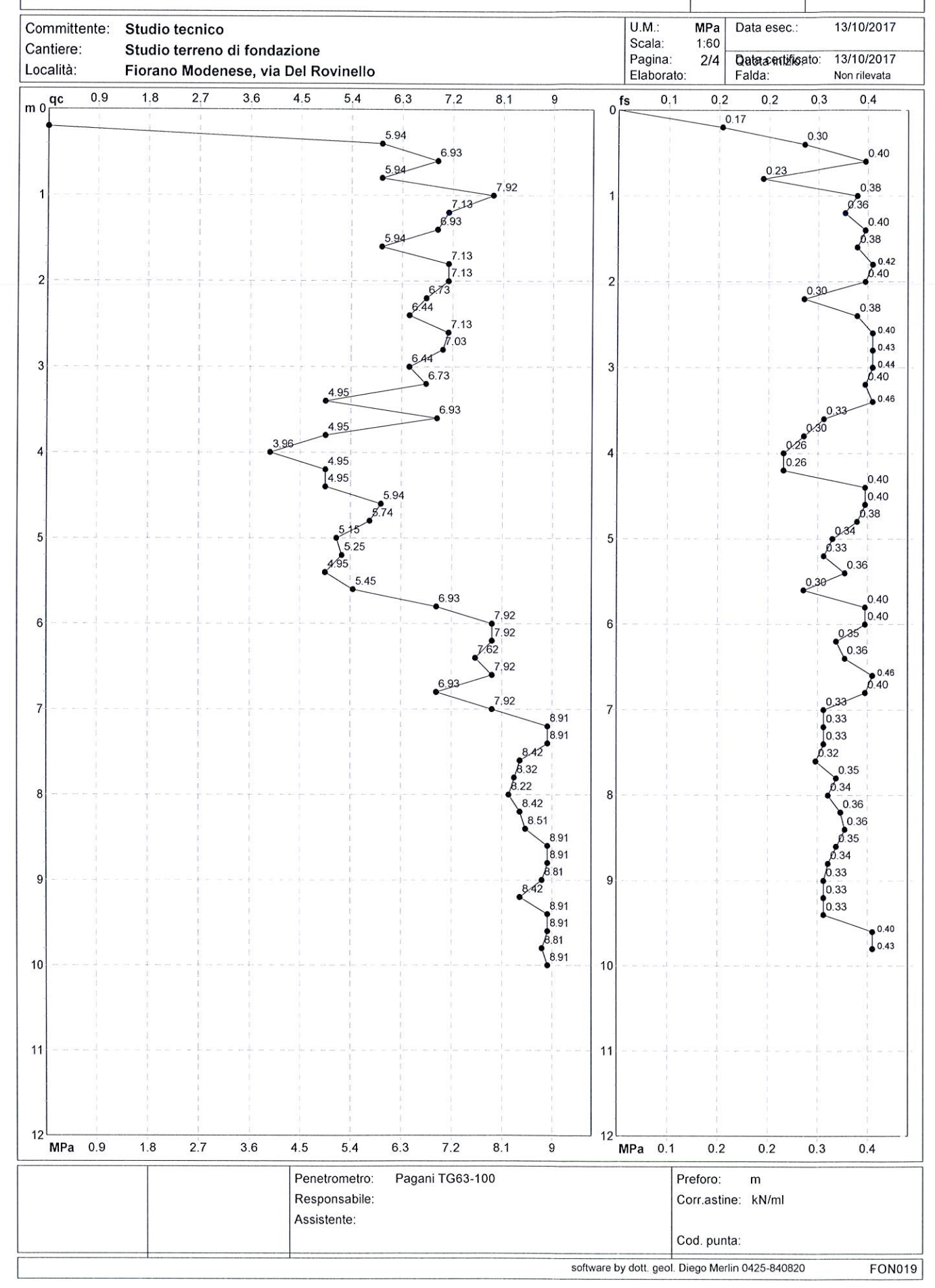
fs = resistenza laterale calcolata

0.20 m sopra quota qc

F = rapporto Begemann (qc / fs)
Rf = rapporto Schmertmann (fs / qc)\*100

## PROVA PENETROMETRICA STATICA MECCANICA DIAGRAMMI DI RESISTENZA

CPT 1
riferimento 956-2017
certificato n° 8180



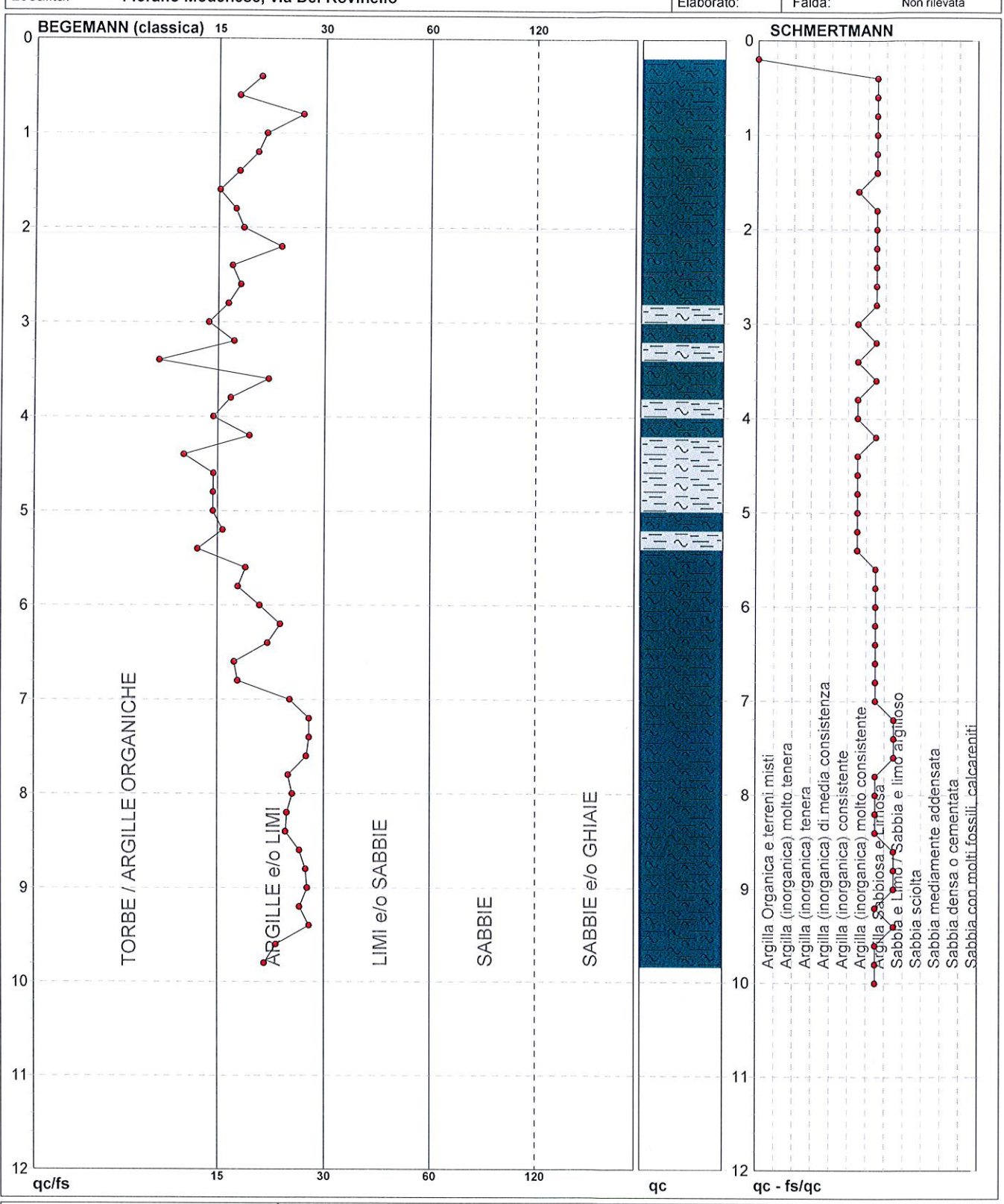
# PROVA PENETROMETRICA STATICA MECCANICA DIAGRAMMI LITOLOGIA

 CPT
 1

 riferimento
 956-2017

 certificato n°
 8180

U.M.: Committente: MPa Data esec.: 13/10/2017 Studio tecnico Scala: 1:60 Cantiere: Studio terreno di fondazione Pagina: 3/4 Data certificato: 13/10/2017 Località: Fiorano Modenese, via Del Rovinello Elaborato: Falda: Non rilevata



Torbe / Argille org. : Argille e/o Limi :

9 punti, 15.25% 40 punti, 67.80% Argilla (inorganica) molto consist.

11 punti, 18.64%

Argilla Sabbiosa e Limosa: Sabbia e Limo / Sabbia e limo arg.: 30 punti, 50.85% 7 punti, 11.86%

# PROVA PENETROMETRICA STATICA MECCANICA PARAMETRI GEOTECNICI

CPT	1
riferimento	956-2017
certificato n°	8180

Committente: Studio tecnico
Cantiere: Studio terreno di fondazione
Località: Fiorano Modenese, via Del Rovinello

U.M.: MPa
Pagina: 4/4
Elaborato: 13/10/2017
Pagina: 4/4
Elaborato: Non rilevata

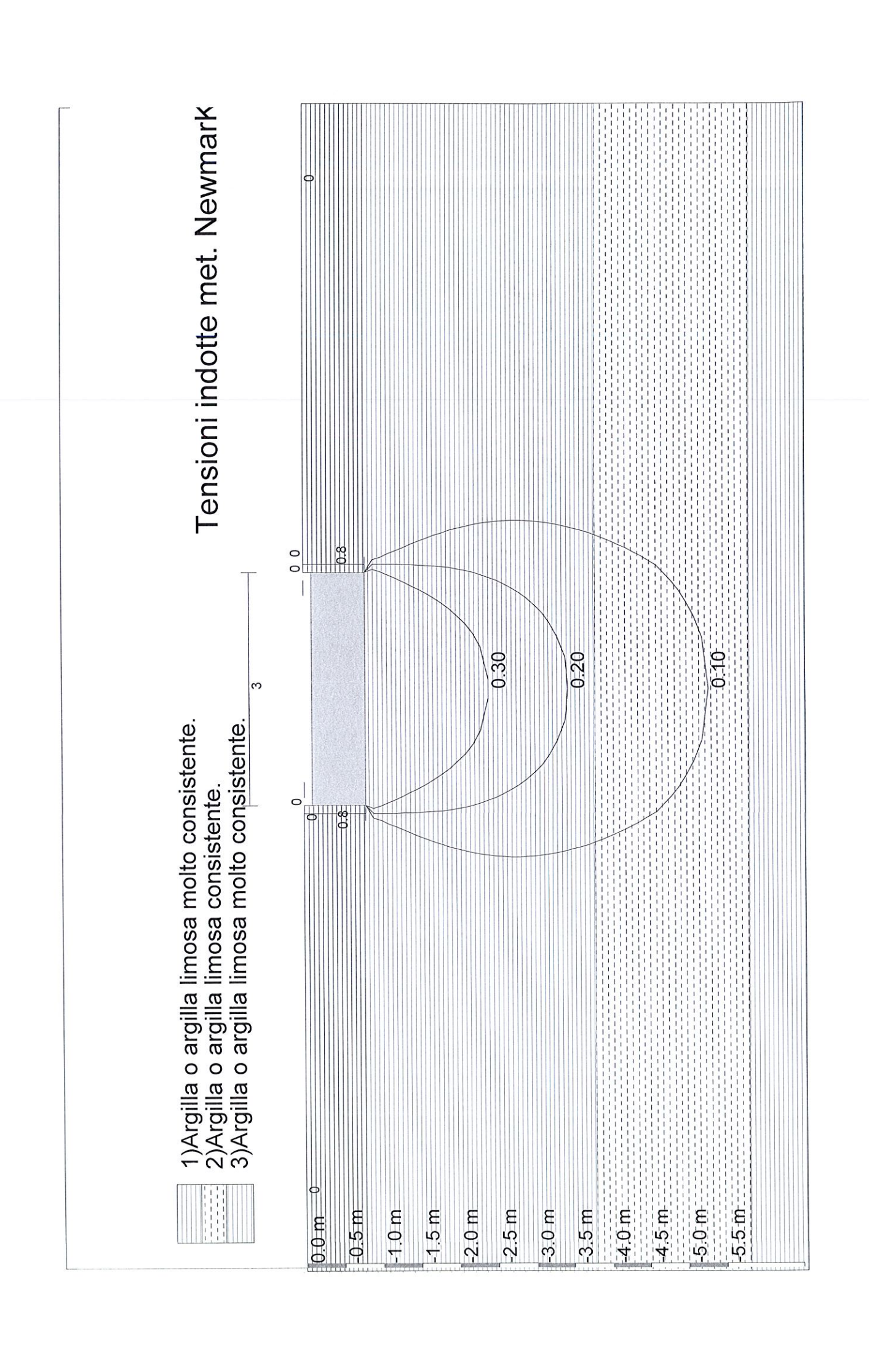
							1	UTA	RA CO	DESI	/A				NA	TUE	RA G	RAN	IULA	RE		
Prof.	qc	qc/fs	zone	γ'	σ'νο	Vs	Cu	OCR	Eu50	Eu25	Мо	Dr	øSc	øСа	øKo	øDB	øDM	øМе	F.L.	E'50	E'25	Mo
m	U.M.			t/m³	kPa	m/s	kPa	%	U.M.	U.M.	U.M.	%	(°)	(°)	(°)	(°)	(°)	(°)		U.M.	U.M.	U.M.
0.20				1.85	3.6																	
0.40 0.60	5.88 6.86	20.00 17.50		2.02	7.6 11.5	259 274	196.0 228.7	99.9 99.9	33.3 38.9	50.0 58.3	17.6 20.6	100	46 46	43 41	40 39	38 36	45 45	32 32		9.8 11.4	14.7 17.2	17.6 20.6
0.80	5.88	25.75		2.02	15.5	259	196.0	99.9	33.3	50.0	17.6	99	46	39	37	34	43	32		9.8	14.7	17.6
1.00	7.84	20.67		2.03	19.5	289	261.3	99.9	44.4	66.6	23.5	100	46	40	37	34	43	33		13.1	19.6	23.5
1.20	7.06 6.86	19.62 17.50		2.03	23.5 27.4	277 274	235.2 228.7	99.9 89.0	40.0 38.9	60.0 58.3	21.2	96 91	46 45	38 37	35 35	33 32	42 41	32 32		11.8	17.6	21.2
1.60	5.88	15.50		2.02	31.4	259	196.0	62.0	33.3	50.0	17.6	82	45	36	33	31	40	32		11.4 9.8	17.2 14.7	20.6 17.6
1.80	7.06	17.14		2.03	35.3	277	235.2	67.1	40.0	60.0	21.2	86	45	36	33	31	40	32		11.8	17.6	21.2
2.00 2.20	7.06 6.66	18.00 22.67		2.03	39.3 43.3	277 271	235.2 222.1	58.8 48.5	40.0 37.8	60.0 56.6	21.2	83 79	45 44	36 35	33 32	31 30	40 39	32 32		11.8 11.1	17.6 16.7	21.2
2.40	6.37	16.80		2.02	47.2	267	212.3	41.1	36.1	54.1	19.1	75	44	34	31	29	38	32		10.6	15.9	19.1
2.60	7.06	17.69		2.03	51.2	277	235.2	42.2	40.0	60.0	21.2	77	44	34	31	29	39	32		11.8	17.6	21.2
2.80 3.00	6.96 6.37	16.40 14.54		2.03	55.2 59.1	276 267	231.9 212.3	37.8 31.0	39.4 36.1	59.1 54.1	20.9 19.1	74 70	44 44	34 33	31 30	29 28	38 37	32 32		11.6 10.6	17.4 15.9	20.9
3.20	6.66	17.00		2.02	63.1	271	222.1	30.3	37.8	56.6	20.0	69	44	33	30	28	37	32		11.1	16.7	20.0
3.40 3.60	4.90	10.71		2.01	67.0	242	163.3	19.1	27.8	41.7	14.7	57	43	31	28	26	35	31		8.2	12.3	14.7
3.80	6.86 4.90	21.02 16.67		2.03	71.0 75.0	274 242	228.7 163.3	27.1 16.6	38.9 27.8	58.3 41.7	20.6 14.7	68 55	43 42	32 31	30 28	28 26	37 35	32 31		11.4 8.2	17.2 12.3	20.6 14.7
4.00	3.92	14.98		2.00	78.9	222	130.7	11.8	22.2	33.3	11.8	46	42	29	26	24	33	30		6.5	9.8	11.8
4.20 4.40	4.90 4.90	18.73 12.50		2.01	82.8 86.7	242 242	163.3 163.3	14.7	27.8	41.7	14.7	52	42	30	27	25	34	31		8.2	12.3	14.7
4.60	5.88	15.00		2.02	90.7	259	196.0	13.8 16.4	27.8 33.3	41.7 50.0	14.7 17.6	51 56	42 43	30 30	27 27	25 26	34 35	31 32		8.2 9.8	12.3 14.7	14.7 17.6
4.80	5.68	14.99		2.02	94.6	256	189.5	14.9	32.2	48.3	17.1	54	42	30	27	25	34	31	1.00	9.5	14.2	17.1
5.00 5.20	5.10 5.19	14.99 15.92		2.01	98.6 102.5	245 247	169.9 173.1	12.4 12.1	28.9 29.4	43.3 44.1	15.3 15.6	49 49	42 42	29 29	26 26	25 25	33	31	0.00	8.5	12.7	15.3
5.40	4.90	13.62		2.01	106.5	247	163.3	10.7	27.8	41.7	14.7	49	42	29	26	25	33 33	31 31		8.7 8.2	13.0 12.3	15.6 14.7
5.60	5.39	18.33		2.01	110.4	251	179.7	11.5	30.5	45.8	16.2	49	42	29	26	24	33	31	-	9.0	13.5	16.2
5.80 <b>6.00</b>	6.86 7.84	17.50 20.00		2.03	114.4 118.4	274 289	228.7 261.3	14.9 16.9	38.9 44.4	58.3 66.6	20.6 23.5	56 60	42 43	30 31	27 28	25 26	34 35	32 33		11.4 13.1	17.2 19.6	20.6
6.20	7.84	22.66		2.03	122.4	289	261.3	16.2	44.4	66.6	23.5	59	43	30	27	26	34	33		13.1	19.6	23.5
6.40 6.60	7.55	20.98		2.03	126.3	284	251.5	14.8	42.8	64.1	22.6	57	43	30	27	25	34	33		12.6	18.9	22.6
6.80	7.84 6.86	17.13 17.50		2.03	130.3 134.3	289 274	261.3 228.7	15.0 12.2	44.4 38.9	66.6 58.3	23.5 20.6	57 52	43 42	30 29	27 26	25 25	34 33	33 32		13.1 11.4	19.6 17.2	23.5
7.00	7.84	24.02		2.03	138.3	289	261.3	13.9	44.4	66.6	23.5	56	42	30	27	25	34	33		13.1	19.6	23.5
7.20 7.40	8.82 8.82	27.03 27.03		2.04	142.3 146.3	302 302	294.0 294.0	15.6	50.0	75.0	26.5	59	43	30	27	26	34	33		14.7	22.1	26.5
7.60	8.33	26.56		2.04	150.3	295	277.7	15.0 13.5	50.0 47.2	75.0 70.8	26.5 25.0	59 56	43 42	30 30	27 27	25 25	34 34	33 33	177	14.7 13.9	22.1	26.5 25.0
7.80	8.23	23.80		2.04	154.3	294	274.4	12.9	46.6	70.0	24.7	55	42	30	26	25	33	33		13.7	20.6	24.7
8.00 8.20	8.13 8.33	24.41 23.61		2.04	158.3 162.3	293 295	271.1 277.7	12.3 12.3	46.1 47.2	69.1 70.8	24.4 25.0	54	42 42	29	26 26	25 25	33	33		13.6	20.3	24.4
8.40	8.43	23.43		2.04	166.3	297	280.9	12.3	47.8	71.6	25.3	54 54	42	29 29	26	25	33 33	33 33		13.9 14.0	20.8 21.1	25.0 25.3
8.60	8.82	25.50		2.04	170.3	302	294.0	12.4	50.0	75.0	26.5	55	42	29	26	25	33	33		14.7	22.1	26.5
8.80 9.00	8.82 8.72	26.47 26.73		2.04	174.3 178.3	302	294.0 290.7	12.1 11.6	50.0 49.4	75.0 74.1	26.5 26.2	54 53	42 42	29 29	26 26	25 24	33 33	33 33		14.7	22.1	26.5 26.2
9.20	8.33	25.53		2.04	182.3	295	277.7	10.6	47.2	70.8	25.0	51	42	29	26	24	33	33		14.5 13.9	21.8 20.8	25.0
9.40	8.82	27.03		2.04	186.2	302	294:0	11.1	50.0	75.0	26.5	53	42	29	26	24	33	33		14.7	22.1	26.5
9.60 9.80	8.82 8.72	22.11 20.55		2.04	190.2 194.2	302 300	294.0 290.7	10.8 10.4	50.0 49.4	75.0 74.1	26.5 26.2	52 51	42 42	29 29	26 26	24 24	33 33	33 33		14.7 14.5	22.1	26.5 26.2
10.00	8.82	20.00		1.98	198.1	302				7-4.1	20.2	51	42	29	26	24	32	33		14.5	22.1	26.5

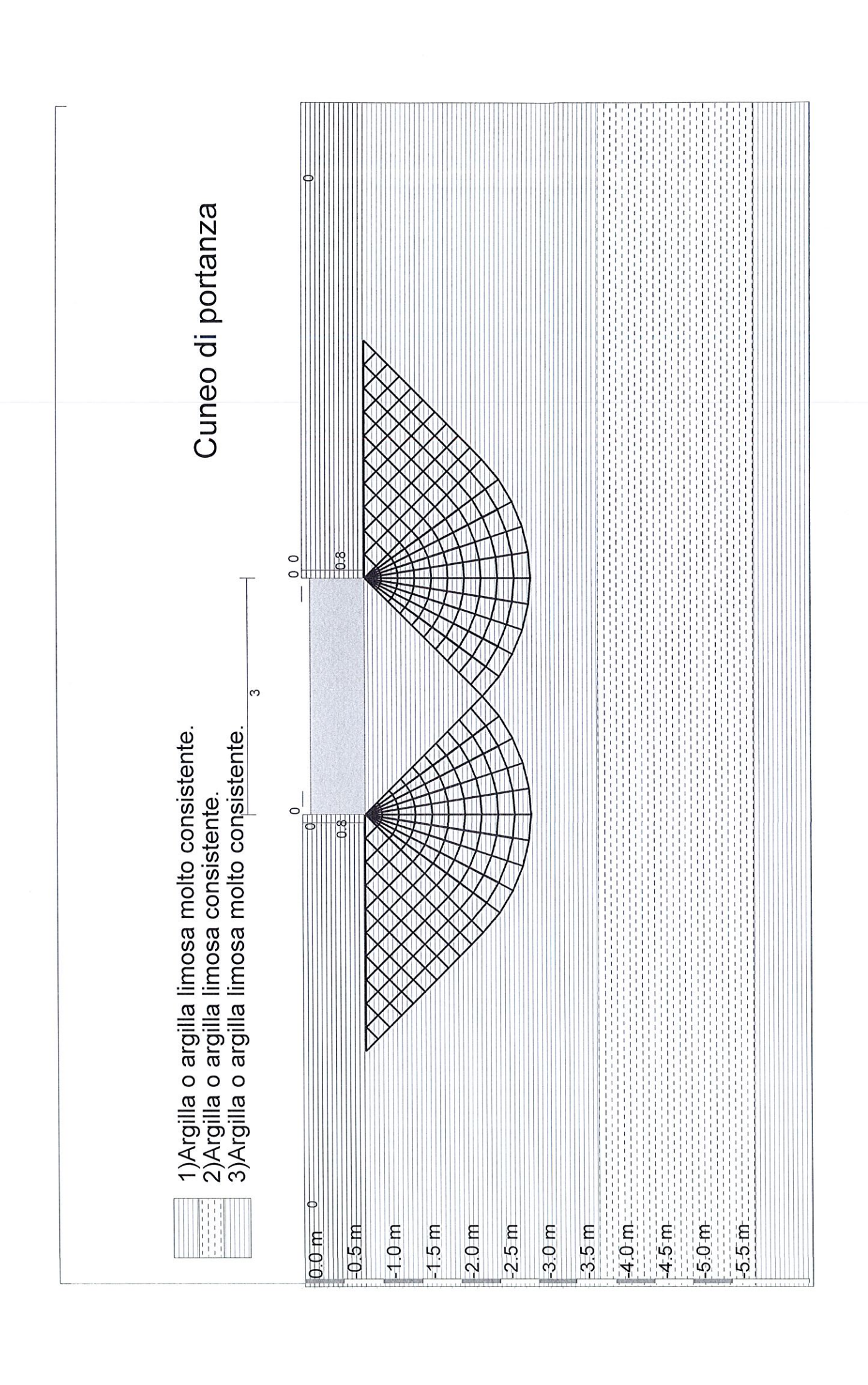
Indagini geognostiche e geofisiche – geologia applicata alle costruzioni – laboratorio geotecnico - idrogeologia – coltivazione cave– bonifiche – consolidamenti – geologia ambientale – consulenze geologiche e geotecniche

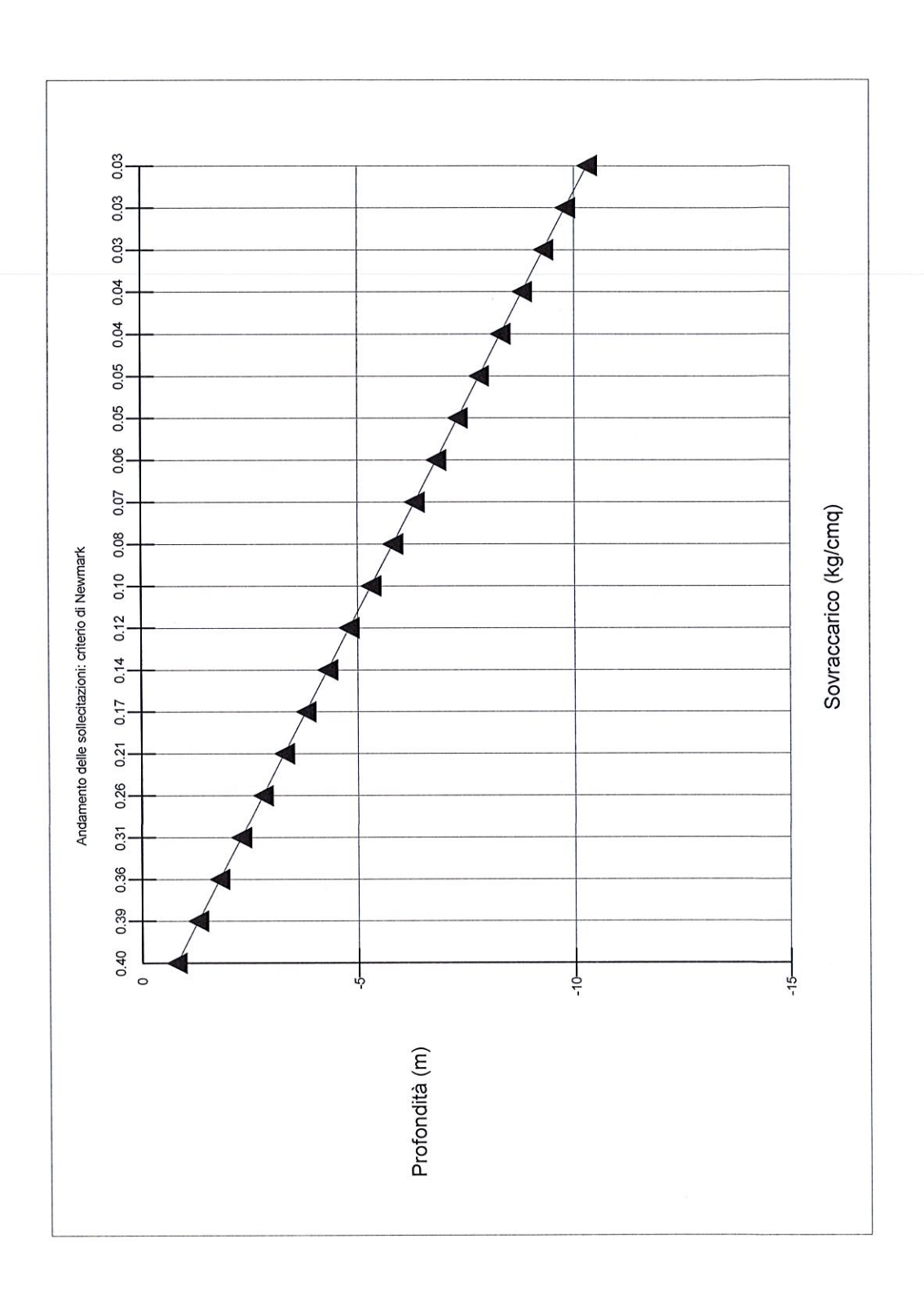
## **ALLEGATO N° 2**

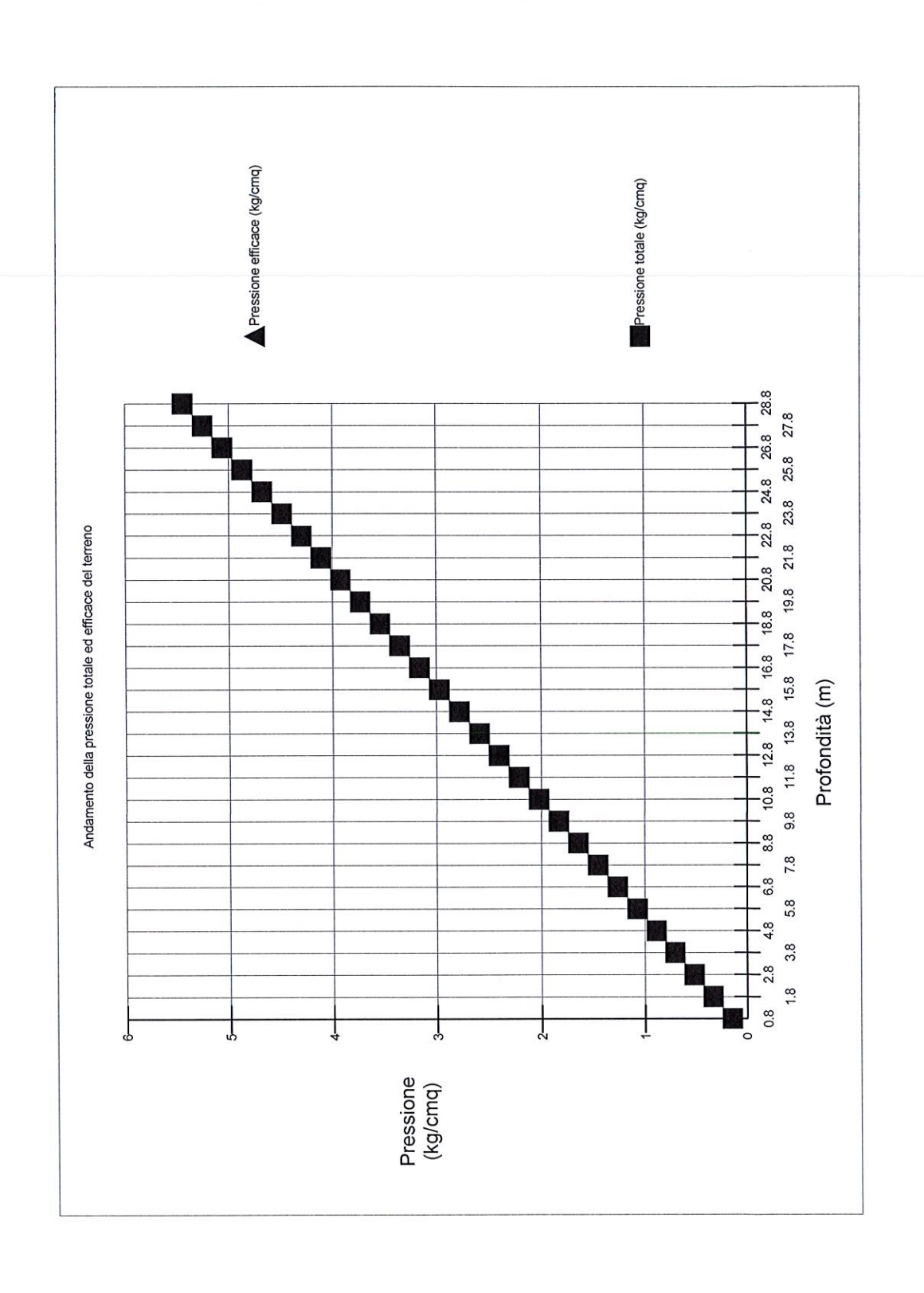
Verifiche geotecniche

			Committence: CTUDIO TECNICO Località: FIORAND MODENESE (MO), VIA DEL	(O)	1	RUVINEULO	
N.7	0.500 GEO.	MOBELLO GEOGECINI CO MEDIO	Data: 1/8/20/2017				
Falda (m):200.0		Note:					
Tipologia fondazione:platea	platea						
Legenda: Phi(")=ango Pv(kg/mc)=peso	_egenda: Phi(")=angolo d'attrito - C(kg/cmq)=coesione - E(kg/cmq)=modulo di deformazione Pv(kg/mc)=peso di volume naturale						
H(m)	玉7		Descrizione	<u>г</u> С	(ka/cmg) (kg/cmg)		(kg/mc)
0.0					)		)
2.0		Argilla o argilla limosa molto consistente.	consistente.	) 0	2.0	200.0	1900.0
3.0							
9.8				24			
0		Argilla o argilla limosa consistente.	tente.	0	1.7	150.0	1850.0
9.0							
7.0						300000	
80							
0				70			
10.0		Arailla o arailla limosa molto consistente.	consistente	() o	2.7	240.0	1900.0
11.0					i		
12.0							
13.0							
14.0							
15.0							









#### DATI GEOMETRICI DELLA FONDAZIONE

Tipologia della fondazione:platea

Geometria della fondazione:
Larghezza della base (m):3.00
Lunghezza della fondazione (m):4.60
Eccentricità della base - lato corto (m):0.00
Eccentricità della base - lato lungo (m):0.00
Profondità di posa - lato destro (m):0.80
Profondità dello scavo - lato destro (m):0.00
Profondità dello scavo - lato sinistro (m):0.00
Larghezza dello scavo - lato destro (m):0.00

Larghezza dello scavo - lato destro (m):0.00

Larghezza dello scavo - lato sinistro (m):0.00

Inclinazione del pendio - lato a valle (°):0

Inclinazione del pendio - lato a monte (°):0

Inclinazione della base - lato corto (°):0

Inclinazione della base - lato lungo (°):0

Inclinazione del carico - lato corto (°):0

Inclinazione del carico - lato lungo (°):0

Fondazione di tipo:elastica

Densità del calcestruzzo (kg/mc):2500.00

#### **FALDA**

#### Profilo della falda

N	X (m)	Y(m)
1	-6.00	-200.00
2	16.00	-200.00

#### **STRATIGRAFIA**

#### Profilo strato n. 1

N	X (m)	Y(m)
1	-6.00	0.00
2	0.00	0.00
3	0.00	0.00
4	0.00	0.00
5	0.00	-0.80
6	3.00	-0.80
7	3.00	0.00
8	3.00	0.00
9	3.00	0.00
10	9.00	0.00

Strato n. 1 - Descrizione: Argilla o argilla limosa molto consistente.

Densità relativa Dr(%): 0

Angolo d'attrito Phi(°):0.00

Gamma sopra falda (kg/mc):1900.00

Gamma saturo (kg/mc):2200.00

Coesione (kg/cmq):2.00

Mod.deformazione (kg/cmq):200.00

Indice vuoti:0.00

O.C.R.:3.00

Indice compr.princ.:0.00

Indice compr.sec.:0.00

Indice ricompr.:0.00

Coef.consolidazione(cm^2/s):0.00

Coef.di Poisson:0.30

R.Q.D.(%):0.00

Nspt medio:0

Rp(kg/cmq):0.00

#### Profilo strato n. 2

N	X (m)	Y(m)
1	-6.00	-3.80
2	9.00	-3.80

Strato n. 2 - Descrizione: Argilla o argilla limosa consistente.

Densità relativa Dr(%): 0

Angolo d'attrito Phi(°):0.00

Gamma sopra falda (kg/mc):1850.00

Gamma saturo (kg/mc):2150.00

Coesione (kg/cmq):1.70

Mod.deformazione (kg/cmq):150.00

Indice vuoti:0.00

O.C.R.:3.00

Indice compr.princ.:0.00

Indice compr.sec.:0.00

Indice ricompr.:0.00

Coef.consolidazione(cm^2/s):0.00

Coef.di Poisson:0.35

R.Q.D.(%):0.00

Nspt medio:0

Rp(kg/cmq):0.00

#### Profilo strato n. 3

N	X (m)	Y(m)
1	-6.00	-5.81
2	9.00	-5.81

Strato n. 3 - Descrizione: Argilla o argilla limosa molto consistente.

Densità relativa Dr(%): 0

Angolo d'attrito Phi(°):0.00

Gamma sopra falda (kg/mc):1900.00

Gamma saturo (kg/mc):2200.00

Coesione (kg/cmq):2.70

Mod.deformazione (kg/cmq):240.00

Indice vuoti:0.00

O.C.R.:3.00

Indice compr.princ.:0.00

Indice compr.sec.:0.00

Indice ricompr.:0.00

Coef.consolidazione(cm^2/s):0.00

Coef.di Poisson:0.30

R.Q.D.(%):0.00

Nspt medio:0

Rp(kg/cmq):0.00

#### PORTANZA DELLA FONDAZIONE

Profondità di calcolo:1.50

Criterio di calcolo:Terzaghi

Portanza limite della fondazione (kg/cmq):11.58

Coefficiente di sicurezza:3.00

Portanza ammissibile della fondazione (kg/cmq):3.86

Fattore di portanza Ng:1.00

Fattore di portanza Ng:0.00

Fattore di portanza Nc:5.71

Fattore di forma Sq:1.00

Fattore di forma Sg:1.00

Fattore di forma Sc:1.00

Fattore di approfondimento Dq:1.00

Fattore di approfondimento Dg:1.00

Fattore di approfondimento Dc:1.00

Fattore di inclinazione dei carichi Iq:1.00

Fattore di inclinazione dei carichi Ig:1.00

Fattore di inclinazione dei carichi Ic:1.00

Fattore di inclinazione della base Bq:1.00

Fattore di inclinazione della base Bg:1.00

Fattore di inclinazione della base Bc:1.00

Fattore di pendio Gq:1.00

Fattore di pendio Gg:1.00

Fattore di pendio Gc:1.00

Peso di volume medio sopra il piano di posa (kg/mc):1900.00

#### CEDIMENTI DELLA FONDAZIONE

Carico applicato sulla fondazione (kg/cmq):0.40

Metodo di calcolo strati incoerenti:

Cedimento immediato (cm):0.00

Cedimento secondario (cm):0.00

Cedimento massimo della fondazione (cm):0.00

Cedimento minimo della fondazione (cm):0.00

Cedimento totale degli strati incoerenti (cm):0.00

Metodo di calcolo strati coesivi:Steinbrenner

Cedimento di consolidazione (cm):0.00

Cedimento secondario (cm):0.00

Cedimento della fondazione (cm):0.26

Cedimento totale degli strati coesivi (cm):0.26

Cedimento totale del terreno di fondazione (cm):0.26

#### COEFFICIENTE DI SOTTOFONDAZIONE

Calcolo del coefficiente di sottofondazione - K di Winkler.

Criterio di calcolo :Bowles

Carico applicato sulla fondazione(kg/cmq):0.40

Cedimento di riferimento(cm):0.26

Coefficiente di sottofondazione (kg/cmc):4.69

Indagini geognostiche e geofisiche – geologia applicata alle costruzioni – laboratorio geotecnico - idrogeologia – coltivazione cave– bonifiche – consolidamenti – geologia ambientale – consulenze geologiche e geotecniche

## **ALLEGATO N° 3**

Indagine sismica - tecnica MASW



Sed e Legale: via C. Costa, 182 – 41124 Modena Sed e operativa: via per Modena, 12 – 41051 Castel nuovo Rangone (MO) Tel. 059-39.67.169 - Fax . 059-53.32.019

p.IVA e C.F. 02981500362 - www.geogroupmodena.it - e-mail: info@geogroupmodena.it

#### ANALISI SISMICA DI SITO SECONDO METODOLOGIA M.A.S.W.

Cantiere: Fiorano Modenese (MO), Via del Ruvinello

Lavoro: Studio del terreno di fondazione

Data: 19/10/2017

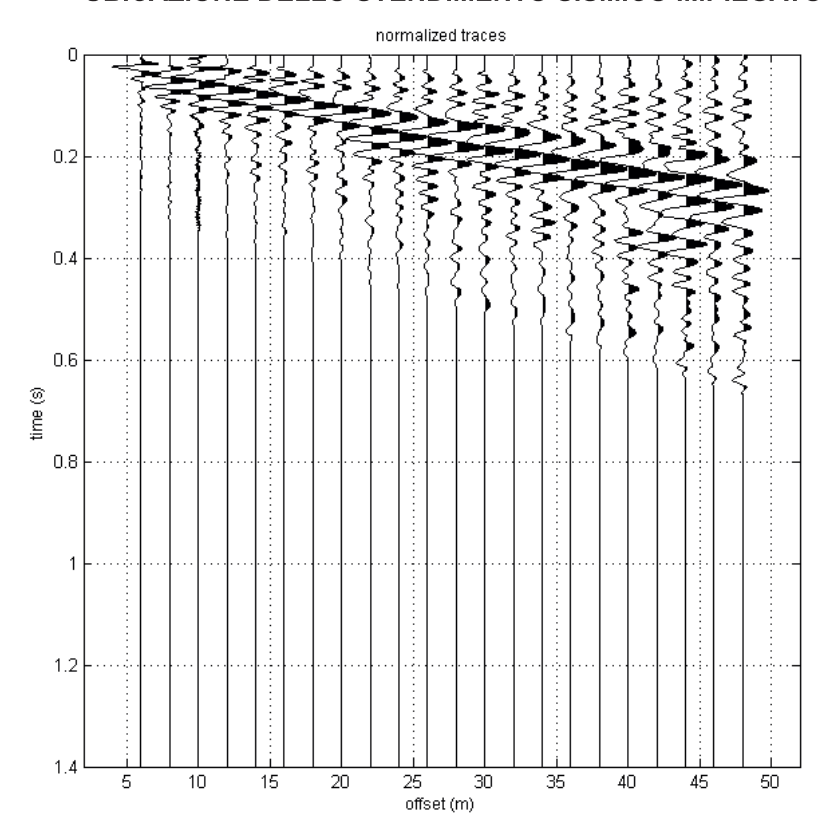
Esecuzione: Dott.ssa Erika Parmeggiani e Dott. Luca Pattuzzi

**Elaborazione:** Dott.ssa Erika Parmeggiani **Responsabile:** Dott. Geol. Pier Luigi Dallari

MASW Rif. 492/17



**UBICAZIONE DELLO STENDIMENTO SISMICO IMPIEGATO** 





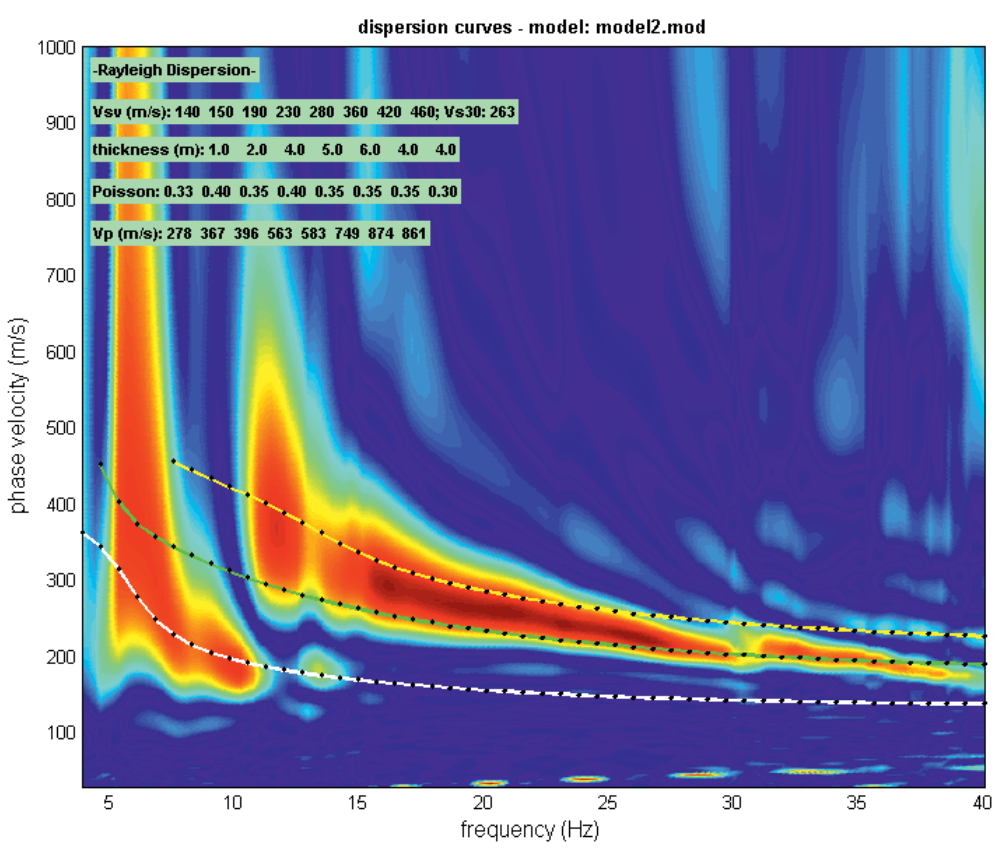
Sed e Legale: via C. Costa, 182 - 41124 Modena

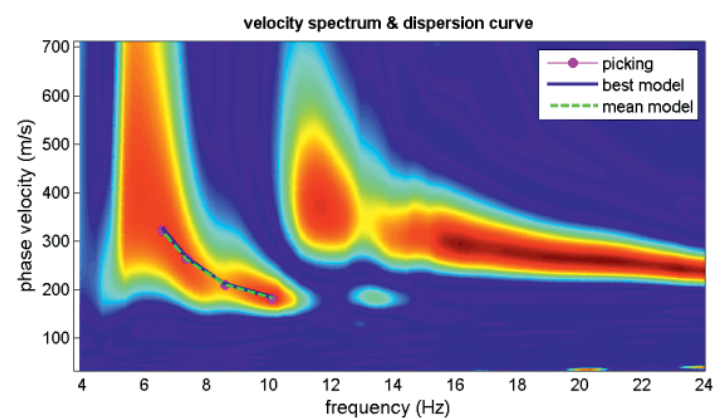
Sed e operativa: via per Modena, 12 – 41051 Castel nuovo Rangone (MO)

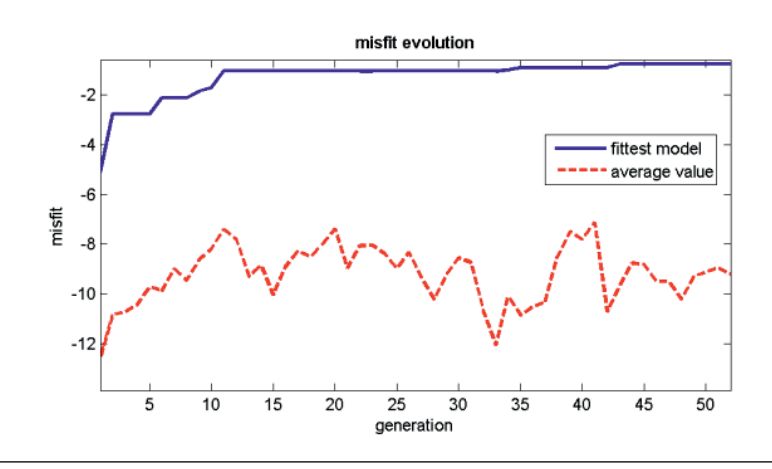
Tel. 059-39.67.169 - Fax . 059-53.32.019

p.IVA e C.F. 029815 00362 - www.geogroupmodena.it - e-mail: info@geogroupmodena.it

#### SPETTRO RELATIVO ALLE VELOCITA' DI FASE, REGISTRATE NEL DOMINIO DELLE FREQUENZE









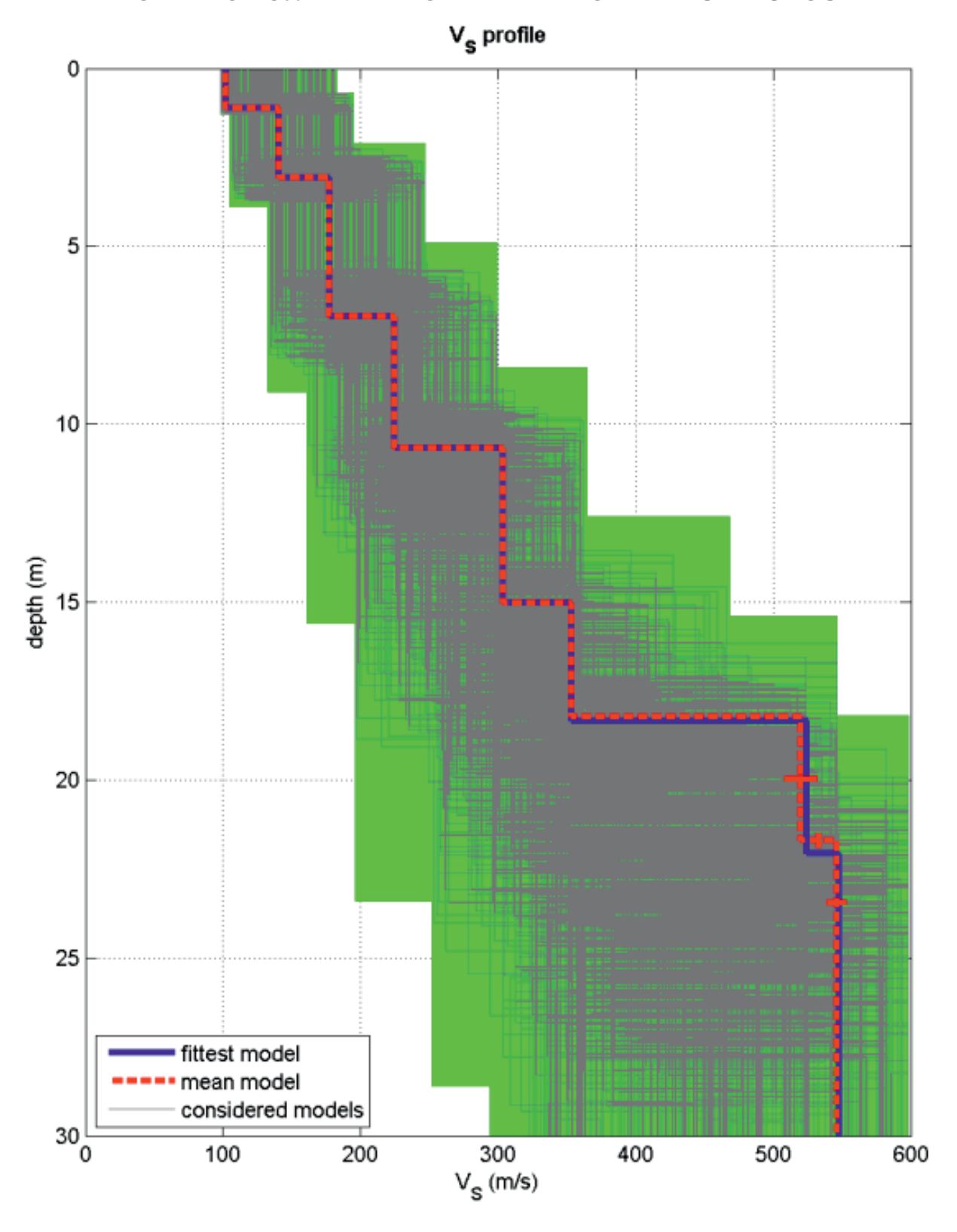
Sed e Legale: via C. Costa, 182 - 41124 Modena

Sed e operativa: via per Modena, 12 – 41051 Castel nuovo Rangone (MO)

Tel. 059-39.67.169 - Fax . 059-53.32.019

 $p.IVA~e~C.F.~029815~00362 - \underline{www.g\,eogrou\,pmodena.it}~-~e-mail:info@geogroupmoden\,a.it$ 

#### MODELLO Vs30 DERIVATO DALL'INDAGINE MASW ESEGUITA



BEST MODEL Vs30 = 277 m/s

Indagini geognostiche e geofisiche – geologia applicata alle costruzioni – laboratorio geotecnico - idrogeologia – coltivazione cave– bonifiche – consolidamenti – geologia ambientale – consulenze geologiche e geotecniche

## **ALLEGATO N° 4**

Indagine sismica passiva - tecnica HVSR



Sed e Legale: via C. Costa, 182 - 41124 Modena

Sed e operativa: via per Modena, 12 – 41051 Castel nuovo Rangone (MO)

Tel. 059-39.67.169 - Fax . 059-53.32.019

p.IVA e C.F. 029815 00362 - www.geogroupmodena.it - e-mail: info@geogroupmodena.it

#### ANALISI SISMICA DI SITO SECONDO METODOLOGIA HVSR

Cantiere: Fiorano Modenese (MO), Via del Ruvinello

**Data:** 19/10/2017

Lavoro: Studio del terreno di fondazione

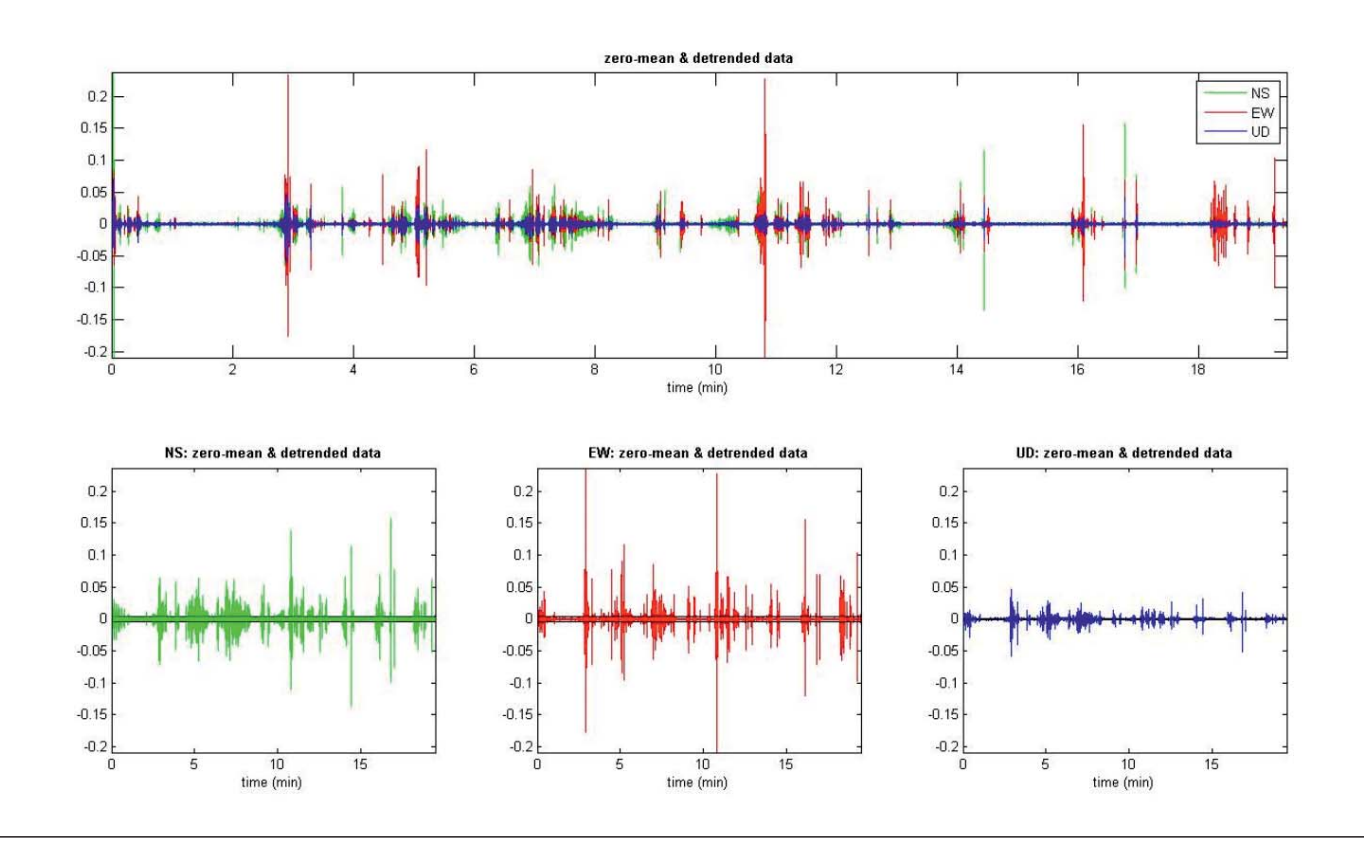
Esecuzione: Dott.ssa Erika Parmeggiani e Dott. Luca Pattuzzi

**Elaborazione:** Dott.ssa Erika Parmeggiani **Responsabile:** Dott. Geol. Pier Luigi Dallari

HVSR Rif. 492/17



UBICAZIONE DELLA STAZIONE DI MISURA



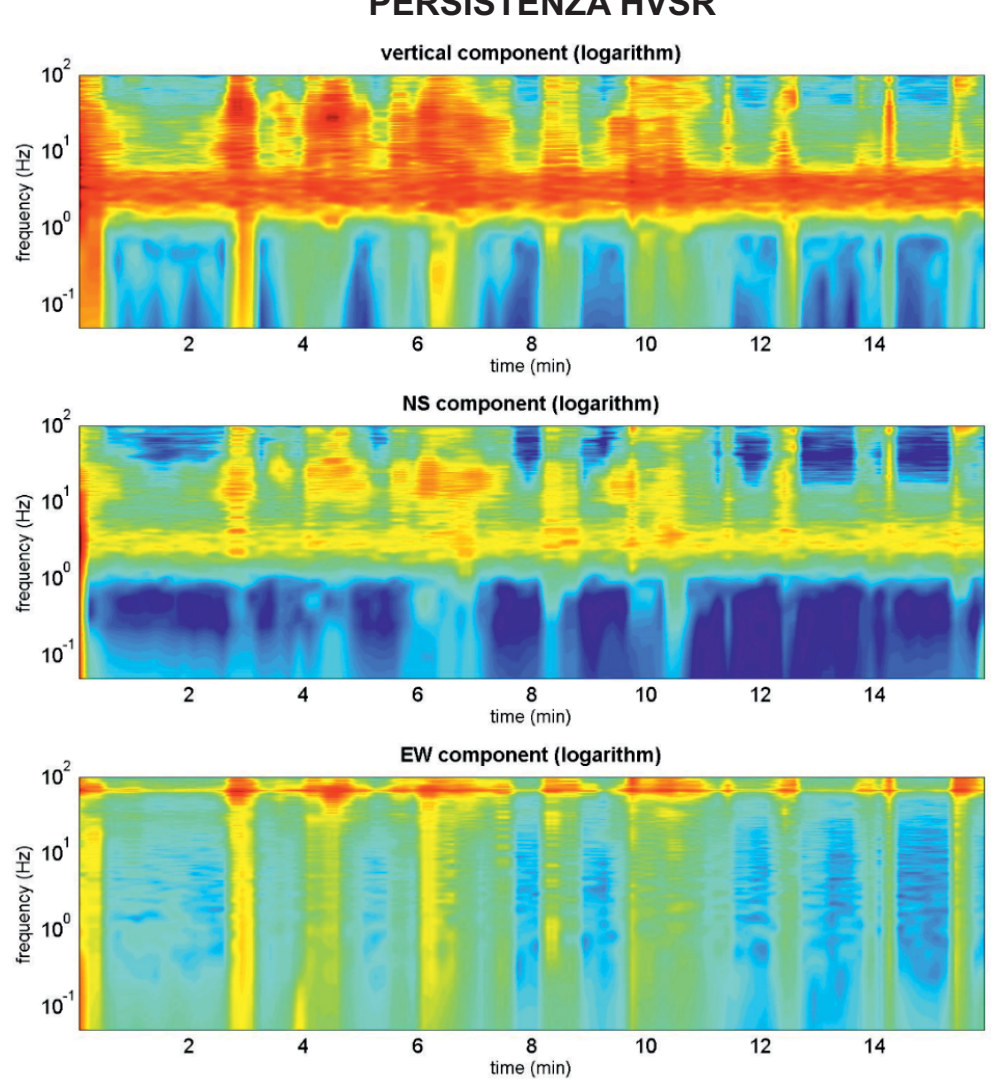


Sed e Legale: via C. Costa, 182 – 41124 Modena Sed e operativa: via per Modena, 12 – 41051 Castelnuovo Rangone (MO)

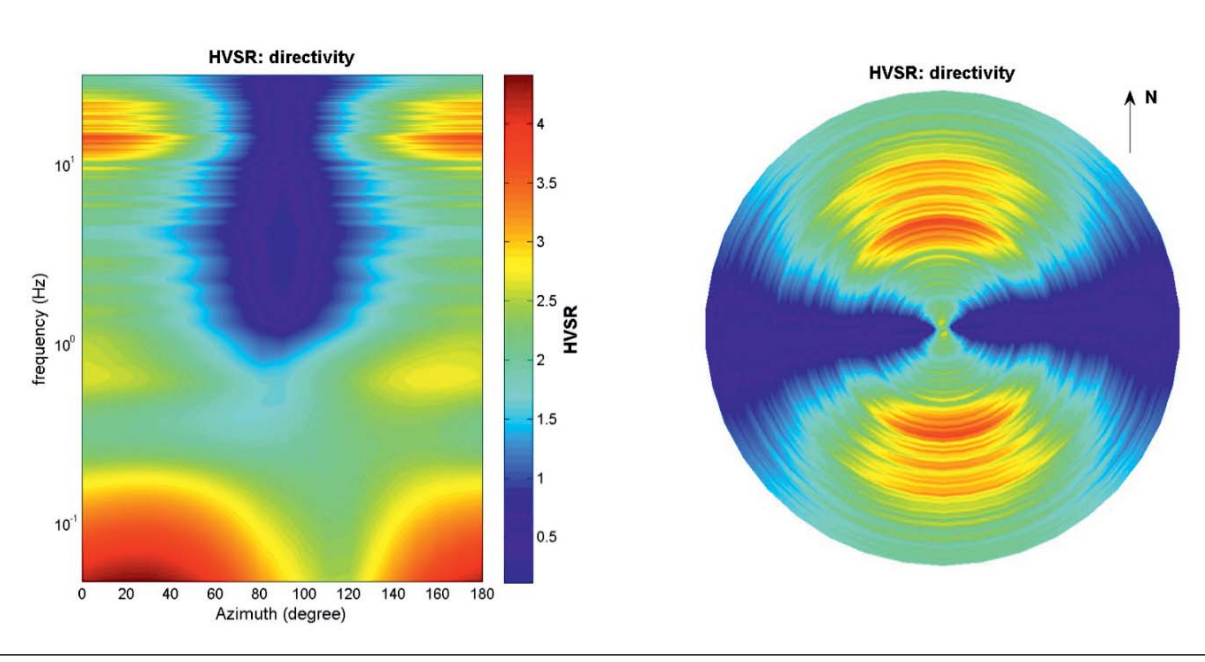
Tel. 059-39.67.169 - Fax . 059-53.32.019

p.IVA e C.F. 029815 00362 - www.geogroupmodena.it - e-mail: info@geogroupmodena.it

#### **PERSISTENZA HVSR**



#### **DIREZIONALITA' HVSR**





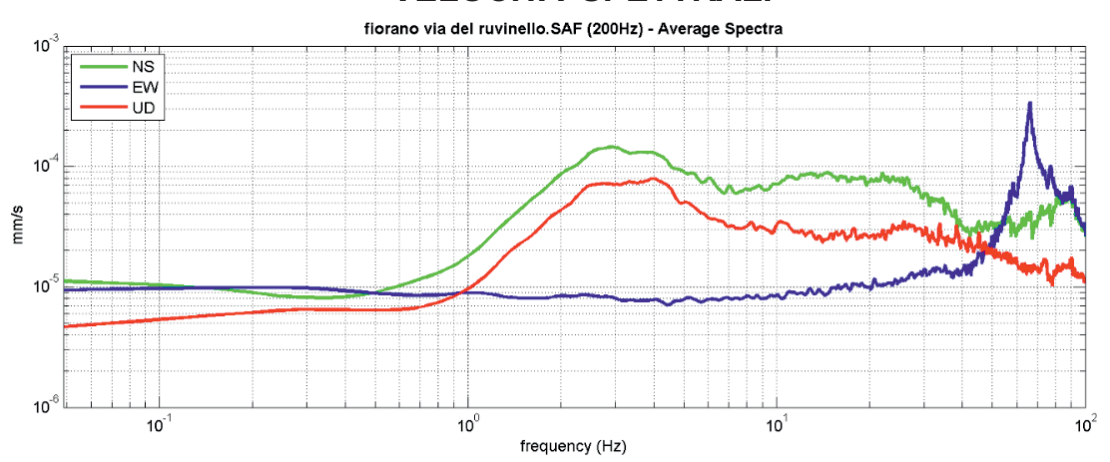
Sed e Legale: via C. Costa, 182 - 41124 Modena

Sed e operativa: via per Modena, 12 – 41051 Castel nuovo Rangone (MO)

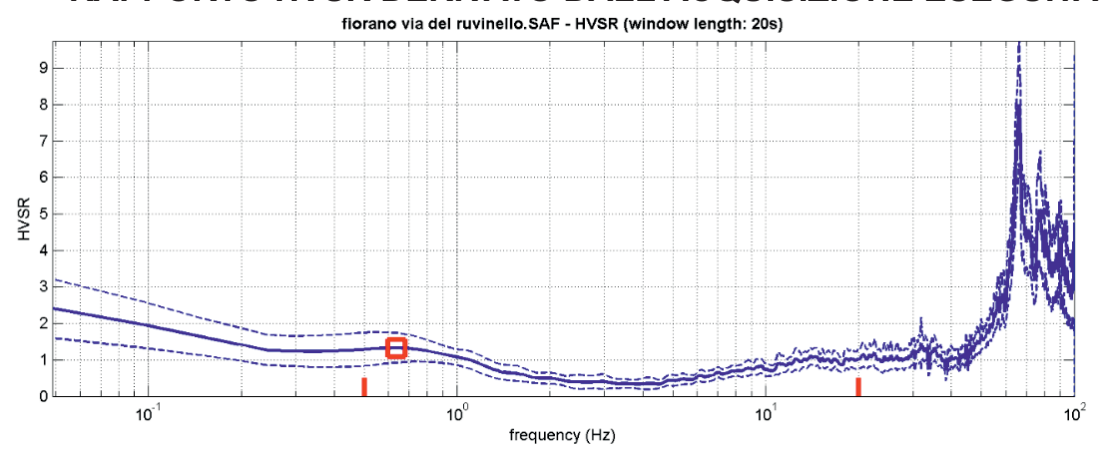
Tel. 059-39.67.169 - Fax . 059-53.32.019

p.IVA e C.F. 02981500362 - www.g eogrou pmodena.it - e-mail: info@geogroupmodena.it

#### **VELOCITA' SPETTRALI**



#### RAPPORTO HVSR DERIVATO DALL'ACQUISIZIONE ESEGUITA



# FREQUENZA DERIVATA Nessuna frequenza caratteristica di sito rilevata

#1. [f0 > 10/Lw]: 0.635 > 0.5 (OK)

#2. [nc > 200]: 1219 > 200 (OK)

#3. [f0>0.5Hz; sigmaA(f) < 2 for 0.5f0 < f < 2f0] (OK)

## === Criteria for a clear H/V peak (at least 5 should be fulfilled) =======

- #1. [exists f- in the range [f0/4, f0] | AH/V(f-)  $\leq$  A0/2]: (NO)
- #2. [exists f+ in the range [f0, 4f0] | AH/V(f+) < A0/2]: yes, at frequency 1.5Hz (OK)
- #3. [A0 > 2]: 1.3 < 2 (NO)
- #4. [fpeak[Ah/v(f)  $\pm$  sigmaA(f)] = f0  $\pm$  5%]: (NO)
- #5. [sigmaf < epsilon(f0)]: 7.300 > 0.095 (NO)
- #6. [sigmaA(f0) < theta(f0)]: 0.412 < 2 (OK)

Indagini geognostiche e geofisiche – geologia applicata alle costruzioni – laboratorio geotecnico - idrogeologia – coltivazione cave– bonifiche – consolidamenti – geologia ambientale – consulenze geologiche e geotecniche

## **ALLEGATO N° 5**

Verifica alla liquefazione



Sede legale: Via C. Costa, 182 - 41123 MODENA

Sede operativa: via Per Modena, 12 – 41051 Castelnuovo Rangone (MO)

Tel. 059/3967169 Fax. 059/5960176 E-mail: **info@geogroupmodena.it** P.IVA e C.F. 02981500362

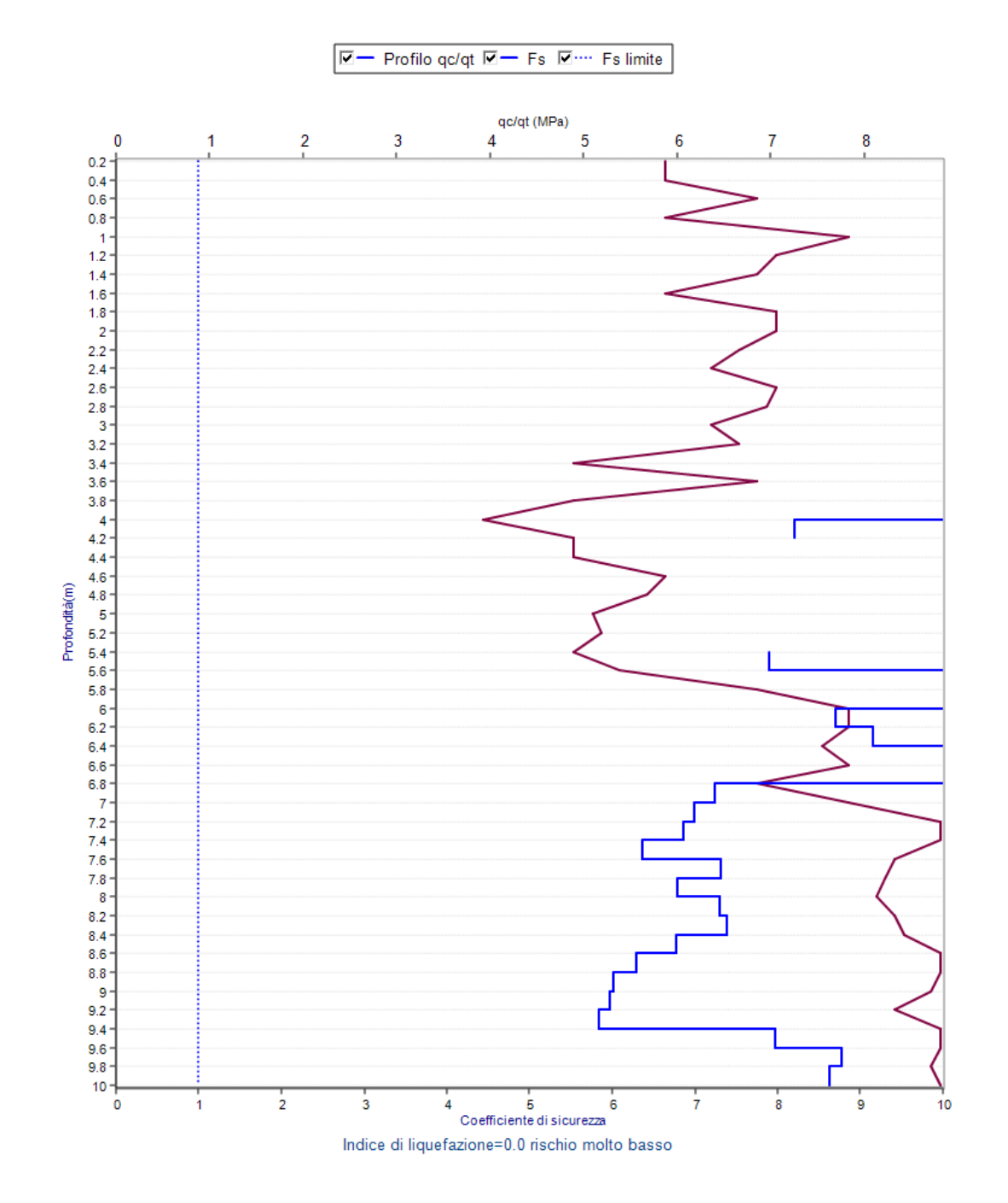
P.IVA e C.F. 02981500362 www.geogroupmodena.it

## **VERIFICA A LIQUEFAZIONE SU CPT**

Cantiere: Fiorano Modenese (MO), Via del Ruvinello

Data: 19/10/2017

**Lavoro:** Studio terreno di fondazione **Elaborazione:** Dott.ssa Erika Parmeggiani **Responsabile:** Dott. Geol. Pier Luigi Dallari





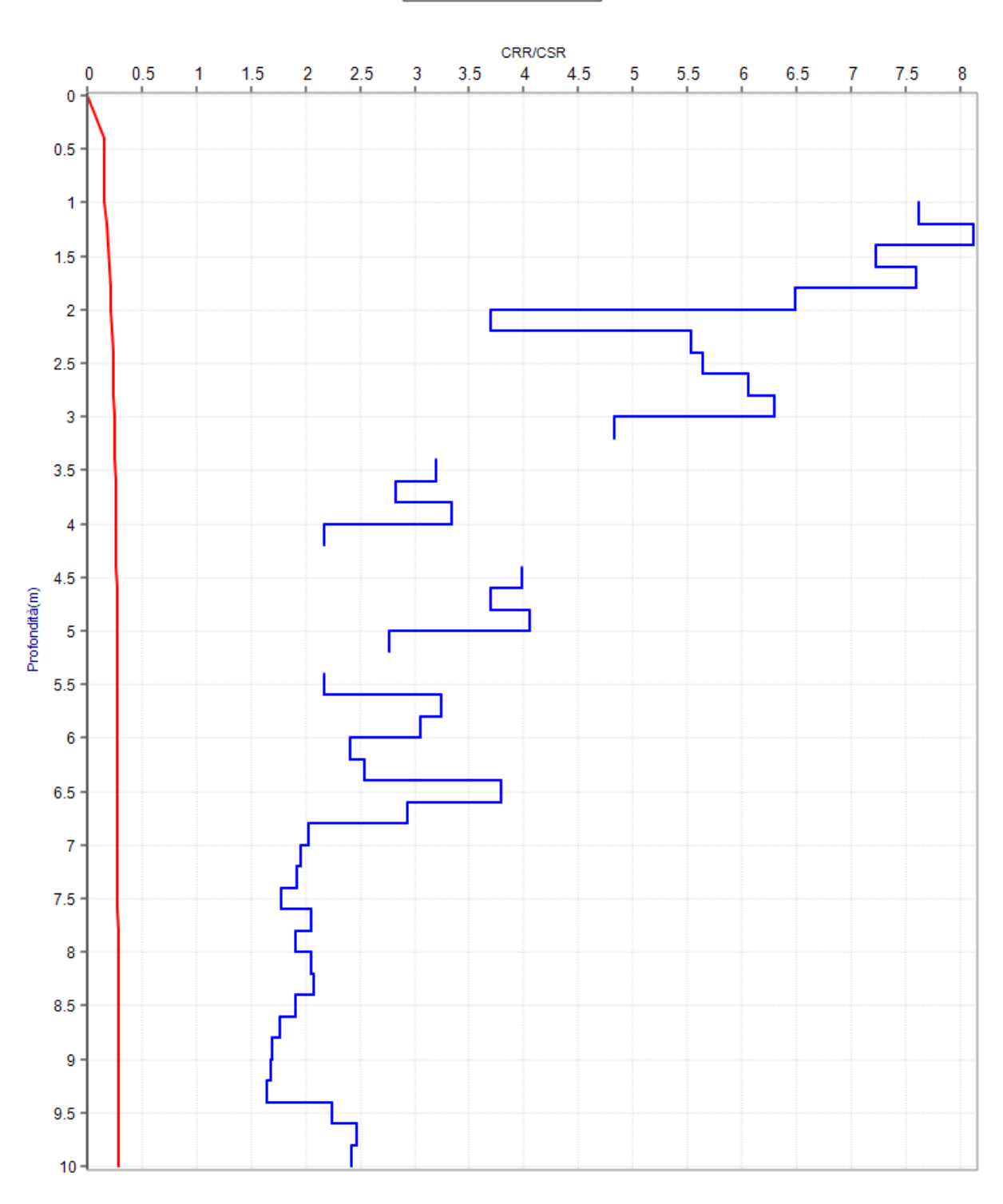
Sede legale: Via C. Costa, 182 - 41123 MODENA

Sede operativa: via Per Modena, 12 – 41051 Castelnuovo Rangone (MO)

Tel. 059/3967169 Fax. 059/5960176 E-mail: **info@geogroupmodena.it** P.IVA e C.F. 02981500362

www.geogroupmodena.it





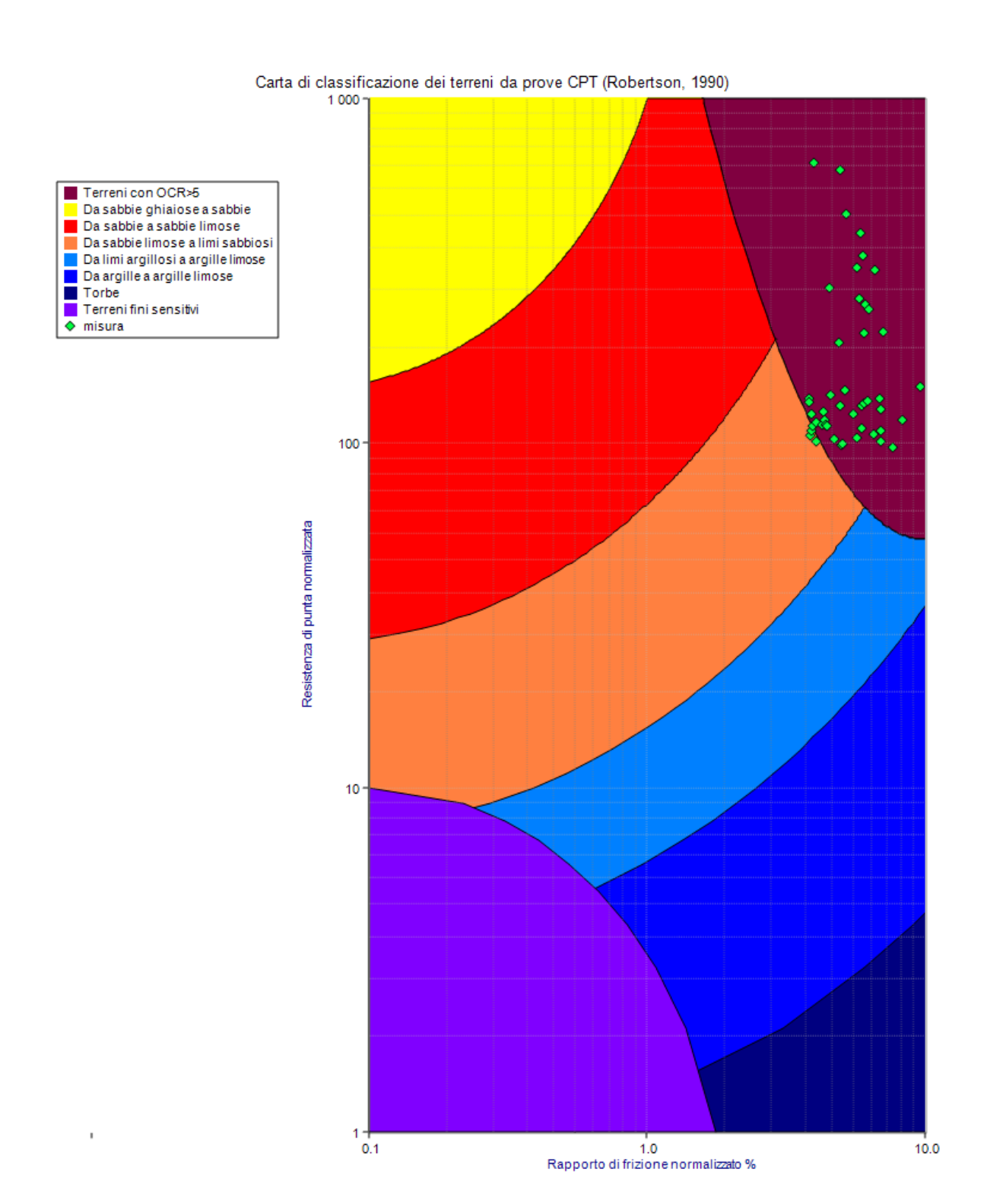


Sede legale: Via C. Costa, 182 - 41123 MODENA

Sede operativa: via Per Modena, 12 – 41051 Castelnuovo Rangone (MO)

Tel. 059/3967169 Fax. 059/5960176 E-mail: **info@geogroupmodena.it** P.IVA e C.F. 02981500362

www.geogroupmodena.it





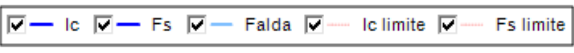
Sede legale: Via C. Costa, 182 - 41123 MODENA

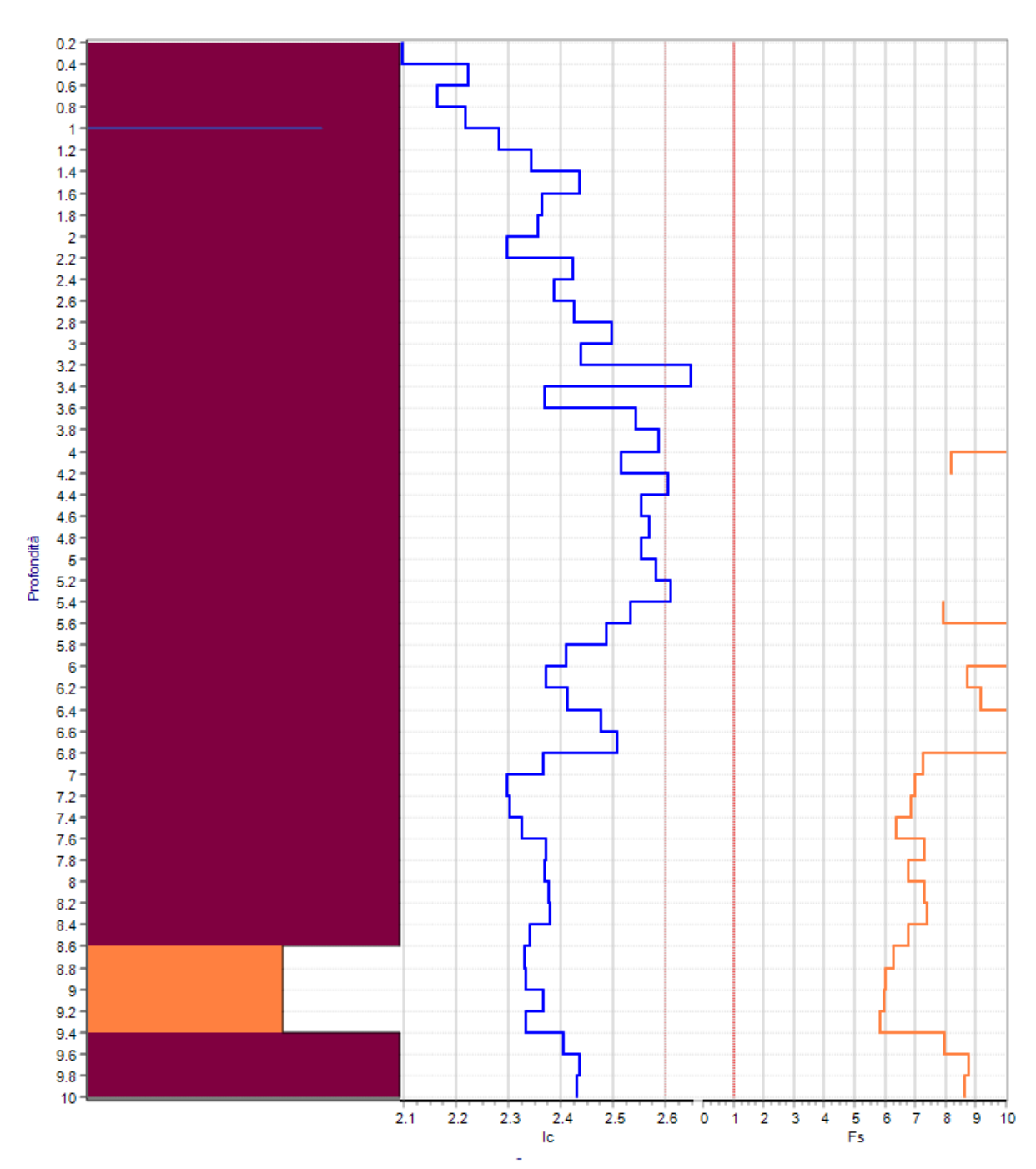
Sede operativa: via Per Modena, 12 – 41051 Castelnuovo Rangone (MO)

Tel. 059/3967169 Fax. 059/5960176 E-mail: **info@geogroupmodena.it** 

P.IVA e C.F. 02981500362 www.geogroupmodena.it

Andamento di lc e Fs







## GEO GROUP SM

Sede Legale: via C. Costa, 182 – 41123 Modena
Sede operativa: via per Modena, 12 – 41051 Castelnuovo Rangone (MO)
Tel. 059-39.67.169 - Fax . 059-59.60.176 p.IVA e C.F. 02981500362
e-mail: info@geogroupmodena.it web: www.geogroupmodena.it



## **ALLEGATO N. 6**

Verifica di stabilità di versante

## Slide Analysis Information

#### Fiorano via del Ruvinello

#### **Project Settings**

Project Title: SLIDE - An Interactive Slope Stability Program

Failure Direction: Right to Left Units of Measurement: SI Units Pore Fluid Unit Weight: 9.81 kN/m3 Groundwater Method: Water Surfaces

Data Output: Standard

Calculate Excess Pore Pressure: Off Allow Ru with Water Surfaces or Grids: Off Random Numbers: Pseudo-random Seed

Random Number Seed: 10116

Random Number Generation Method: Park and Miller v.3

#### **Analysis Methods**

Analysis Methods used: Bishop simplified

Number of slices: 25 Tolerance: 0.005

Maximum number of iterations: 50

#### Surface Options

Surface Type: Circular Search Method: Grid Search Radius increment: 10

Composite Surfaces: Disabled

Reverse Curvature: Create Tension Crack

Minimum Elevation: Not Defined

Minimum Depth: 3

#### Loading

Seismic Load Coefficient (Horizontal): 0.05

1 Distributed Load present:

Distributed Load Constant Distribution, Orientation: Normal to boundary, Magnitude: 200 kN/m2

#### **Material Properties**

Material: Argilla limosa molto consistente

Strength Type: Mohr-Coulomb

Unit Weight: 19 kN/m3
Friction Angle: 20.46 degrees

Water Surface: None

Material: Argilla consistente
Strength Type: Mohr-Coulomb
Unit Weight: 18.5 kN/m3
Friction Angle: 19.61 degrees

Water Surface: None

Material: argilla limosa molto consistente

Strength Type: Mohr-Coulomb

Unit Weight: 19 kN/m3 Friction Angle: 20.46 degrees

Water Surface: None

#### FS: 1.587270

Center: -91.210, 90.241

Radius: 128.790

Left Slip Surface Endpoint: -126.899, -33.505 Right Slip Surface Endpoint: 1.463, 0.807 Resisting Moment=2.00483e+006 kN-m Driving Moment=1.26306e+006 kN-m

#### Valid / Invalid Surfaces

Method: bishop simplified

Number of Valid Surfaces: 3608 Number of Invalid Surfaces: 1199

#### **List of All Coordinates**

#### Search Grid

-147.281 11.628

-52.391 11.628

-52.391 90.241

-147.281 90.241

#### Material Boundary

-75.062 -18.639

-6.757 -18.639

#### Material Boundary

-38.206 -8.771 44.683 -8.771

#### Material Boundary

-6.757 -18.639 44.683 -18.639

#### External Boundary

-5.476 0.807

-25.372 -4.798

-38.206 -8.771

-50.072 -12.231

-60.324 -14.923

-75.062 -18.639

-89.030 -22.355

-161.129 -43.583

-161.129 -90.205 44.683 -90.205

44.683 -90.205 44.683 -18.639

44.683 -8.771

44.683 0.807

